



การศึกษาการกระจายตัวของเฟส
ในพื้นที่ขนาดเล็กสำหรับการก่อรูปลำดับชั้นแบบกระจาย

โดย
นายอานนท์ ไชยธรรมมาตร B5207008

มหาวิทยาลัยเทคโนโลยีสุรนารี

รายงานนี้เป็นส่วนหนึ่งของการศึกษาวิชา 427494 โครงการศึกษาวិชาการกรมโทรคมนาคม
และวิชา 427499 โครงการนิสิตกรมโทรคมนาคม
หลักสูตรวิทยาศาสตรบัณฑิต สาขาวิชาวิศวกรรมโทรคมนาคม หลักสูตรปรับปรุง พ.ศ. 2546
สำนักวิชาวิศวกรรมศาสตร์ มหาวิทยาลัยเทคโนโลยีสุรนารี
ประจำภาคการศึกษาที่ 1 ปีการศึกษา 2556

การศึกษาการกระจายตัวของเฟสในพื้นที่ขนาดเล็กสำหรับการ
ก่อรูปตำคตินแบบกระจาย

คณะกรรมการสอบโครงการ



(ผู้ช่วยศาสตราจารย์ ดร.พีระพงษ์ ภาอุฑารสกุล)
กรรมการ/อาจารย์ที่ปรึกษาโครงการ



(ผู้ช่วยศาสตราจารย์ ดร.สุติมา พรหมมาก)
กรรมการ



(อาจารย์ธนเสกฐ์ ทศศิกรพัฒน์)
กรรมการ

มหาวิทยาลัยเทคโนโลยีสุรนารี อนุมัติให้นำรายงานโครงการฉบับนี้ เป็นส่วนหนึ่งของ
การศึกษาระดับปริญญาตรี สาขาวิชาวิศวกรรมโทรคมนาคม รายวิชา 427494 โครงการศึกษา
วิศวกรรมโทรคมนาคม ประจำปีการศึกษา 2556

| | |
|------------------|---|
| โครงการ | โครงการการศึกษาการกระจายตัวของเฟส ในพื้นที่ขนาดเล็กสำหรับการก่อรูปลากลื่นแบบกระจาย |
| ผู้จัดทำโครงการ | นายอานนท์ ไชยธรรมมาตร B5207008 |
| อาจารย์ที่ปรึกษา | ผู้ช่วยศาสตราจารย์ ดร. พีระพงษ์ อุฑารศกุล |
| สาขาวิชา | วิศวกรรมโทรคมนาคม |
| ภาคการศึกษาที่ | 1/2556 |

บทคัดย่อ

จากที่เครือข่ายไร้สายมีจุดต่อที่มีระยะทางการสื่อสารที่จำกัด ดังนั้นจึงได้มีการพัฒนาเทคนิคที่สามารถเพิ่มระยะทางการสื่อสารไร้สายได้ ซึ่งการก่อรูปลากลื่นที่มีพหุหลักหันไปยังทิศทางที่ต้องการเป็นหนึ่งในวิธีที่สามารถเพิ่มระยะการสื่อสาร โดยการก่อรูปลากลื่นแบบหันพหุหลักได้สามารถแบ่งได้เป็น 2 ประเภทคือ การก่อรูปลากลื่นด้วยตัวเอง และการก่อรูปลากลื่นแบบกระจาย ซึ่งการก่อรูปลากลื่นด้วยตัวเองจำเป็นต้องอาศัยสายอากาศแถวลำดับที่มีตำแหน่งของสายอากาศที่แน่นอนในการก่อรูปลากลื่น ดังนั้นการก่อรูปลากลื่นด้วยตัวเองจึงไม่เหมาะสมที่จะนำไปติดตั้งบนโหนดที่มีขนาดเล็กที่ต้องการความคล่องตัวในการเคลื่อนที่ เช่น โทรศัพท์มือถือหรือคอมพิวเตอร์แบบพกพา ขณะที่การก่อรูปลากลื่นแบบกระจายจะมีข้อดีกว่าเนื่องจากไม่จำเป็นต้องติดตั้งสายอากาศแถวลำดับ โดยจะอาศัยความร่วมมือจากลูกข่ายหรือโหนดอื่นๆ ที่อยู่ใกล้เคียงมาช่วยก่อรูปลากลื่น โดยแต่ละโหนดจะส่งสัญญาณข้อมูลเดียวกัน พร้อมๆกัน และสำคัญคือต้องปรับเฟสของสัญญาณที่เดินทางไปถึงปลายทางให้เท่ากัน ซึ่งในความเป็นจริงเราไม่ทราบถึงตำแหน่งที่แน่นอนของโหนด จึงจำเป็นต้องทำการซิงโครไนซ์เฟสคือ สัญญาณของแต่ละโหนดจะต้องไม่หักล้างกันเอง เมื่อรวมสัญญาณกันที่สถานีฐาน ด้วยเหตุนี้จึงได้ทำการศึกษาการกระจายตัวของเฟสในพื้นที่ขนาดเล็กสำหรับการก่อรูปลากลื่นแบบกระจาย เพื่อนำข้อมูลการกระจายตัวของเฟสที่ได้มาวิเคราะห์ผลกระทบของการก่อรูปลากลื่นแบบกระจายและจากผลการทดลองที่ได้เราพบว่า ประสิทธิภาพโดยรวมของระบบไม่มีการเปลี่ยนแปลง เนื่องจากค่าเบี่ยงเบนมาตรฐานมีค่าน้อยมาก สามารถที่จะนำกระบวนการนี้ไปใช้ในพื้นที่ขนาดเล็กนี้ได้ต่อไป

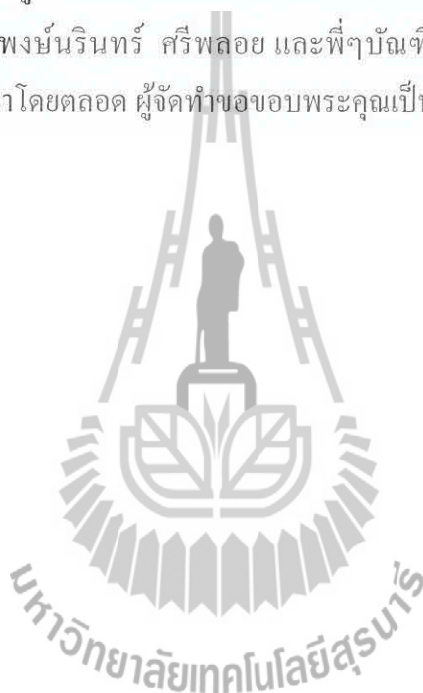
กิตติกรรมประกาศ

จากการที่ผู้จัดทำรายงานได้รับมอบหมายให้จัดทำโครงการเรื่องการศึกษาการกระจายตัวของเฟสในพื้นที่ขนาดเล็กสำหรับการก่อรูปลำดับชั้นแบบกระจายส่งผลให้โครงการนี้สำเร็จลุล่วงด้วยดี เนื่องจากได้รับความช่วยเหลืออย่างดียิ่ง จากบุคคลต่างๆดังนี้

ผู้ช่วยศาสตราจารย์ ดร.พีระพงษ์ อุซหารสกุล อาจารย์ที่ปรึกษาโครงการ ที่ให้คำแนะนำปรึกษา ช่วยแก้ปัญหาและให้กำลังใจผู้จัดทำโครงการมาโดยตลอด รวมทั้งช่วยตรวจทานและแก้ไขโครงการเล่มนี้จนเสร็จสมบูรณ์

ขอขอบคุณ คุณพงษ์นรินทร์ ศรีพลอย และพี่ๆบัณฑิตที่คอยให้ความช่วยเหลือ คอยให้คำปรึกษาในเรื่องต่างๆ มาโดยตลอด ผู้จัดทำขอขอบพระคุณเป็นอย่างสูงไว้ ณ ที่นี้ด้วย

อานนท์ ไชยตระมาตร



สารบัญ

หน้า

| | |
|--|-----------|
| บทคัดย่อ (ภาษาไทย)..... | ก |
| กิตติกรรมประกาศ..... | ข |
| สารบัญ..... | ค |
| บทที่ | |
| 1 บทนำ..... | 1 |
| 1.1 ปัญหาและที่มาของโครงการ..... | 1 |
| 1.2 วัตถุประสงค์ของโครงการ..... | 1 |
| 1.3 ขอบเขตของโครงการ..... | 2 |
| 1.4 ผลที่คาดว่าจะได้รับจากโครงการ..... | 2 |
| 2 ทฤษฎีและหลักการที่เกี่ยวข้อง..... | 3 |
| 2.1 กล่าวนำ..... | 3 |
| 2.2 สายอากาศแฉวลำดับ..... | 3 |
| 2.2.1 สายอากาศแฉวลำดับแบบเส้น..... | 4 |
| 2.2.2 สายอากาศแฉวลำดับระนาบ..... | 6 |
| 2.2.3 สายอากาศแฉวลำดับวงกลม..... | 9 |
| 2.3 การก่อรูปลำคลื่น..... | 12 |
| 2.3.1 การก่อรูปลำคลื่นด้วยตัวเอง..... | 13 |
| 2.3.2 การก่อรูปลำคลื่นแบบกระจาย..... | 15 |
| 2.3.2.1 แบบจำลองการก่อรูปลำคลื่นแบบกระจาย..... | 17 |
| 2.4 การชิงโครโนสเฟสแบบวงรอบปิดโดยอาศัยการป้อนกลับสัญญาณ 1 บิต..... | 22 |
| 2.5 กล่าวสรุป..... | 29 |
| 3 วิธีการดำเนินการทำโครงการ..... | 30 |
| 3.1 กล่าวนำ..... | 30 |
| 3.2 การออกแบบการวัด..... | 30 |
| 3.3 อุปกรณ์ที่ใช้ในการทำลอง..... | 31 |
| 3.4 การเชื่อมต่ออุปกรณ์..... | 32 |
| 3.5 การวัด..... | 32 |

สารบัญ (ต่อ)

หน้า

| | | |
|-----|-----------------------------------|----|
| 4 | ผลการทดลองและการวิเคราะห์ผล..... | 33 |
| 4.1 | กล่าวนำ..... | 33 |
| 4.2 | ผลการวัดครั้งที่ 1 | 33 |
| 4.3 | ผลการวัดครั้งที่ 2 | 40 |
| 5 | บทสรุปและข้อเสนอแนะ | 51 |
| 5.1 | บทสรุป..... | 51 |
| 5.2 | สิ่งที่ได้จากการศึกษาโครงการ..... | 51 |
| 5.3 | ปัญหาและอุปสรรค | 51 |
| 5.4 | ข้อจำกัดของโครงการ..... | 51 |
| 5.5 | ข้อเสนอแนะ | 51 |
| | รายการอ้างอิง..... | 52 |
| | ประวัติผู้เขียน..... | 54 |



บทที่ 1

บทนำ

1.1 ปัญหาและที่มาของโครงการ

ในปัจจุบันเทคโนโลยีด้านการสื่อสารไร้สายได้มีบทบาทเข้ามาในชีวิตประจำวันของเราเป็นอย่างมากไม่ว่าจะใช้เพื่อการติดต่อสื่อสารหรือใช้เพื่อความบันเทิง เนื่องจากการสื่อสารไร้สายมีจุดเด่นที่สามารถรับส่งข้อมูลได้อย่างรวดเร็วและสะดวกสบายเนื่องจากไม่จำเป็นต้องใช้สายส่งสัญญาณในการรับส่งข้อมูล แต่การสื่อสารไร้สายมีจุดด้อยที่มีขอบเขตการส่งข้อมูลที่จำกัดเนื่องจากสัญญาณที่ถูกส่งออกไปในอากาศจะถูกกลดทอนลงไปตามระยะทางที่เพิ่มขึ้น จากปัญหาดังกล่าวจึงได้มีการพัฒนาเทคนิคที่สามารถเพิ่มระยะทางการสื่อสารไร้สายให้กับโนด ซึ่งการก่อรูปลำคลื่นแบบหันพู่หลักได้เป็นหนึ่งวิธีที่สามารถเพิ่มระยะการสื่อสาร โดยการก่อรูปลำคลื่นแบบหันพู่หลักได้สามารถแบ่งได้เป็น 2 ประเภทคือ 1) การก่อรูปลำคลื่นด้วยตัวเอง หรือการก่อรูปลำคลื่นโดยใช้สายอากาศแถวลำดับ และ 2) การก่อรูปลำคลื่นแบบกระจาย หรือการก่อรูปลำคลื่นด้วยการอาศัยความร่วมมือจากโนดอื่น

ด้วยเหตุที่การก่อรูปลำคลื่นด้วยตัวเองจำเป็นต้องอาศัยสายอากาศแถวลำดับที่มีตำแหน่งของสายอากาศที่แน่นอนในการก่อรูปลำคลื่น ดังนั้นการก่อรูปลำคลื่นด้วยตัวเองจึงไม่เหมาะสมที่จะนำไปติดตั้งบนโนดที่มีขนาดเล็กที่ต้องการความคล่องตัวในการเคลื่อนที่ เช่น โทรศัพท์มือถือหรือคอมพิวเตอร์แบบพกพา (Laptop) ขณะที่การก่อรูปลำคลื่นแบบกระจายจะมีข้อดีกว่าเนื่องจากไม่จำเป็นต้องติดตั้งสายอากาศแถวลำดับ โดยจะอาศัยความร่วมมือจากลูกข่ายหรือโนดอื่นๆ ที่อยู่ใกล้เคียงมาช่วยก่อรูปลำคลื่น โดยโนดแต่ละโนดต้องการสายอากาศเพียงต้นเดียวในการก่อรูปลำคลื่น แต่การก่อรูปลำคลื่นแบบกระจายในความเป็นจริงเราไม่ทราบถึงตำแหน่งที่แน่นอนของโนดเนื่องจากตำแหน่งของโนดมีการกระจายตัวแบบสุ่ม ซึ่งเฟสของสัญญาณจะแปรผันตามตำแหน่งของโนด ดังนั้นการชิงโครโมสเฟสจึงเป็นขั้นตอนสำคัญในวิธีการก่อรูปลำคลื่นแบบกระจาย

1.2 วัตถุประสงค์ของโครงการ

1. เพื่อศึกษาการกระจายตัวของเฟสของโนดที่มีการกระจายตัวแบบสุ่มในพื้นที่ขนาดเล็ก
2. เพื่อศึกษาผลกระทบการกระจายตัวของเฟสที่มีต่อระบบการก่อรูปลำคลื่นแบบกระจาย
3. เพื่อศึกษาการใช้เครื่องมือวัด Network Analyzer เพื่อวัดเฟส

1.3 ขอบเขตของโครงการ

1. ศึกษาการกระจายตัวของเฟสของโนดที่มีการกระจายตัวแบบสม่ำเสมอ
2. ศึกษาผลกระทบการกระจายตัวของเฟสที่มีต่อระบบการก่อรูปลำคลื่นแบบกระจาย
3. กำหนดให้โนดทั้งภาครับและภาคส่งใช้งานที่ 2.6 GHZ
4. กำหนดให้จำนวน โหนดที่ทดสอบเท่ากับ 28 โหนด
5. กำหนดให้ขอบเขตการกระจายตัวของ โหนดอยู่ในพื้นที่ขนาดเล็ก ซึ่งมีขนาดเท่ากับ 60x70 ซม. โดยอ้างอิงจากขนาดโต๊ะทำงาน
6. กำหนดพื้นที่การทดลองคือแลปโทรคมนาคมที่ F4 โดยกำหนดจุดการทดลองเป็น 4 กรณี คือ
 - LOS ใกล้
 - LOS ไกล
 - Non-LOS ใกล้
 - Non-LOS ไกล

1.4 ผลที่คาดว่าจะได้รับจากโครงการ

1. ได้ข้อมูลการกระจายตัวของเฟส ซึ่งสามารถนำไปวิเคราะห์ผลกระทบของการก่อรูปลำคลื่นแบบกระจายได้
2. สามารถใช้เครื่องมือวัด Network Analyzer ได้ถูกต้อง

บทที่ 2

ทฤษฎีและหลักการที่เกี่ยวข้อง

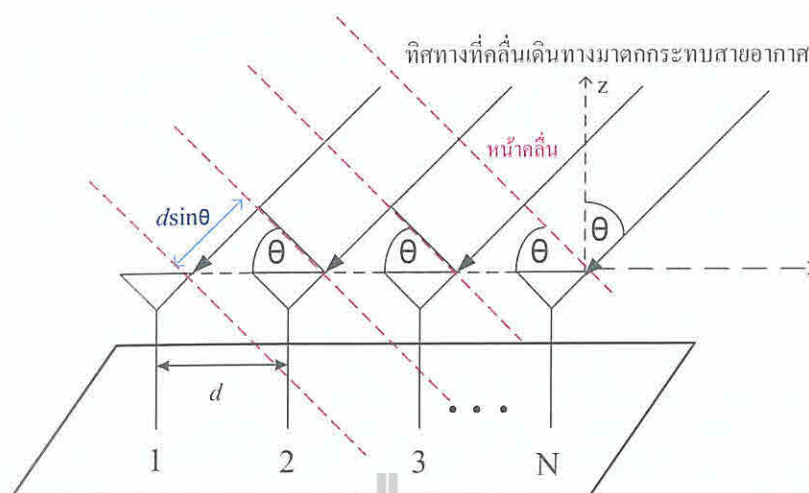
2.1 กล่าวนำ

ในปัจจุบันเครือข่ายของระบบการสื่อสารไร้สาย (wireless communication system) เช่น เครือข่ายการสื่อสารท้องถิ่นไร้สาย (Wireless Local Area Networks: WLANs) [3] ได้รับความนิยมนำไปใช้งานเป็นอย่างมาก เนื่องจากเครือข่ายไม่จำเป็นต้องอาศัยสายส่งสัญญาณจึงสามารถสื่อสารได้ทุกที่ที่ราบที่ยังอยู่ในเครือข่าย แต่การสื่อสารไร้สายมีจุดด้อยที่มีขอบเขตการส่งข้อมูลที่จำกัด เนื่องจากสัญญาณที่ถูกส่งออกไปในอากาศจะถูกลดทอนลงไปตามระยะทางที่เพิ่มขึ้น ดังนั้นจึงมีการพัฒนาเทคนิคที่เพิ่มระยะทางการสื่อสารหรือการเพิ่มกำลังสัญญาณที่ปลายทางรับได้โดยวิธีการก่อรูปลำคลื่นแบบหันพู่หลักได้ ซึ่งการก่อรูปลำคลื่นแบบกระจายสามารถเพิ่มระยะการส่งสัญญาณได้ด้วยการอาศัยความร่วมมือการส่งสัญญาณจาก โหนดข้างเคียง โดยแต่ละ โหนดจะส่งสัญญาณข้อมูลเดียวกัน พร้อมๆกัน และสำคัญคือต้องปรับเฟสของสัญญาณที่เดินทางไปถึงปลายทางให้เท่ากัน ซึ่งในความเป็นจริงเราไม่ทราบถึงตำแหน่งที่แน่นอนของ โหนด เนื่องจากตำแหน่งของ โหนดมีการกระจายตัวแบบสุ่มจึงจำเป็นต้องทำการซิงโครไนซ์เฟสคือ สัญญาณของแต่ละ โหนดจะต้องไม่หักล้างกันเองเมื่อรวมสัญญาณกันที่สถานีฐาน

โดยในบทนี้จะกล่าวถึงหลักการและทฤษฎีประกอบด้วย สายอากาศแถวลำดับ การก่อรูปลำคลื่น และการซิงโครไนซ์เฟส ทั้งนี้เพื่อให้ผู้อ่านได้รับความรู้เบื้องต้นเกี่ยวกับลักษณะของโครงการนี้

2.2 สายอากาศแถวลำดับ

สายอากาศแถวลำดับ (Antenna array) เป็นระบบที่นำเอาสายอากาศมาวางเรียงกันในรูปแบบต่าง ๆ โดยอาจมีการป้อนสัญญาณเข้าที่ตัวสายอากาศต้นเดียวหรือหลายต้นเพื่อแผ่กระจายคลื่นออกไป การก่อรูปลำคลื่นด้วยตัวเองหรือระบบสายอากาศเก่ง (smart antennas) แบบดั้งเดิม [4] จำเป็นที่จะต้องใส่สายอากาศในรูปแบบแถวลำดับเท่านั้นจึงจะสามารถหันพู่คลื่นหลัก ไปยังทิศทางที่ต้องการได้ด้วยกระบวนการถ่วงน้ำหนักหรือปรับเฟสที่สายอากาศแต่ละต้น ซึ่งสายอากาศแถวลำดับจะมีการวางตัวหลายรูปแบบเช่น แบบเส้น ระนาบและวงกลม



รูปที่ 2.1 สายอากาศแถวลำดับแบบเส้นจำนวน $N \times 1$ ต้น

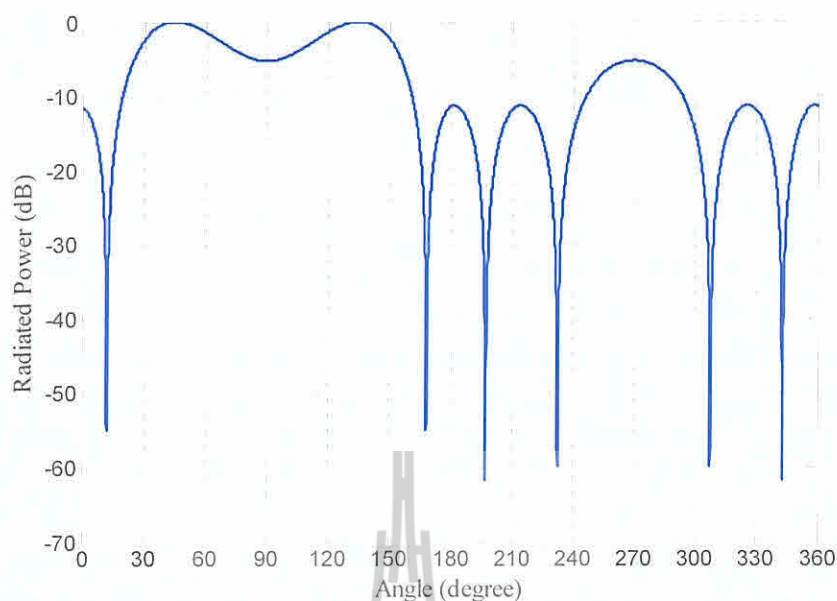
2.2.1 สายอากาศแถวลำดับแบบเส้น

สายอากาศแถวลำดับแบบเส้น (linear array antenna) [5] เป็นสายอากาศแถวลำดับที่ พื้นฐานและมีโครงสร้างที่เรียบง่ายที่สุด คือประกอบด้วยสายอากาศแต่ละต้นวางตัวเรียงกันเป็น เส้นตรงซึ่งอาจจะมีระยะห่างระหว่างสายอากาศแต่ละต้นเท่ากันหรือไม่เท่ากันก็ได้ สายอากาศแถว ลำดับในรูปที่ 2.2 เป็นสายอากาศแบบเส้นจำนวน N ต้น หรือ $N \times 1$ ในการวางตัวสายอากาศของ สายอากาศแถวลำดับจำเป็นต้องคำนึงถึงระยะห่าง d ของสายอากาศแต่ละต้น เนื่องจาก ระยะห่างของสายอากาศแต่ละต้นนั้นจะมีผลต่อการแผ่กระจายคลื่นของสายอากาศ ซึ่งโดยปกติ แล้วสายอากาศแต่ละต้นจะวางตัวห่างกันเท่ากับครึ่งความยาวคลื่น ซึ่งการคำนวณหาระยะห่าง ระหว่างสายอากาศแต่ละต้นนั้น สามารถหาได้จากสมการที่ (2.1)

$$d = \frac{\lambda}{2} \quad (2.1)$$

เมื่อ λ คือความยาวคลื่น

จากรูปที่ 2.2 ถ้ากำหนดให้มีระยะห่างระหว่างสายอากาศแต่ละต้นเท่ากันทุกต้นและสายอากาศแต่ละต้นมีกำลังส่งสัญญาณเท่ากัน ซึ่งสายอากาศแถวลำดับที่มีรูปแบบดังกล่าวจะเรียกว่าแถวลำดับ สมบูรณ์ (uniform array) เราสามารถหาค่าพลังงานของสายอากาศแถวลำดับนี้จากการคูณกัน

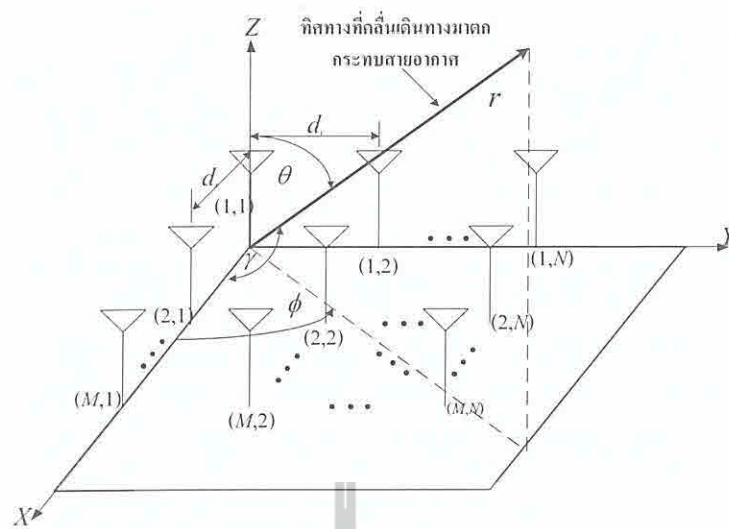


รูปที่ 2.2 แบบรูปการแผ่พลังงานของสายอากาศแถวลำดับแบบเส้นจำนวน 4×1

ระหว่างค่าพลังงานของสายอากาศต้นเดียวที่จุดอ้างอิงหรือจุดกำเนิดกับตัวประกอบแถวลำดับ (Array Factor: AF) ตัวประกอบแถวลำดับของสายอากาศแถวลำดับแบบเส้นสามารถหาได้จากสมการต่อไปนี้

$$\begin{aligned}
 AF &= 1 + e^{+j(kd \sin \theta + \beta)} + e^{+j2(kd \sin \theta + \beta)} + \dots + e^{+j(N-1)(kd \sin \theta + \beta)} \\
 &= \sum_{n=1}^N e^{j(n-1)kd(\sin \theta + \beta)} \\
 &= \sum_{n=1}^N e^{j(n-1)\Psi}
 \end{aligned} \tag{2.2}$$

ดังนั้นสามารถนำเอาสมการ (2.2) มาจำลองแบบรูปการแผ่พลังงานของสายอากาศแบบเส้นตามที่แสดงในรูปที่ 2.2 เมื่อจำนวนสายอากาศเท่ากับ 4 ต้น และแต่ละต้นวางตัวห่างกัน $d = \lambda/2$ ทิศทางของพูหลักคือ $\theta = 45^\circ$ เมื่ออ้างอิงกับแกน z ตามที่แสดงในรูปที่ 2.2 ดังนั้นความต่างเฟสของ



รูปที่ 2.3 สายอากาศแถวลำดับระนาบจำนวน $M \times N$

สายอากาศแต่ละต้นคือ $\beta = -kd \sin 45^\circ$ ซึ่งจะแตกต่างกันตามลำดับของสายอากาศ $(N-1)$ ตามที่แสดงในสมการ (2.2) จากรูปจะเห็นว่าพหุคูณสามารถชี้ไปที่ทิศ 45° เนื่องจากเฟสของสายอากาศแต่ละต้นจะเท่ากันถ้าเดินทางไปในทิศ $\theta = 45^\circ$ ซึ่งจะเห็นได้จากการนำเอาค่าความต่างเฟส $\beta = -kd \sin 45^\circ$ แทนค่ากลับเข้าไปในสมการ (2.2) จะได้เฟสของสายอากาศแต่ละต้นเท่ากัน ซึ่งส่งผลให้ได้สัญญาณรวมสูงสุด นอกจากนี้จะเห็นว่ายังมีพหุคูณชี้ไปในฝั่งตรงข้ามของสายอากาศที่ทิศ 135° เนื่องจากสมการตัวประกอบแถวลำดับของสายอากาศแถวลำดับแบบเส้นตามที่แสดงในสมการ (2.2) จะมีค่าสูงสุดทั้งหมด 2 ค่า คือที่ทิศ 45° และ 135°

2.2.2 สายอากาศแถวลำดับระนาบ

สายอากาศแถวลำดับระนาบ (Planar array antenna) [6] เป็นรูปแบบที่ประยุกต์มาจากรูปแบบสายอากาศแถวลำดับแบบเส้นที่ได้อธิบายใน 2.2.1 สายอากาศแต่ละตัวถูกจัดวางตัวเป็นสี่เหลี่ยม โดยสายอากาศแถวลำดับระนาบจะมีแบบรูปการแผ่พลังงานที่ยืดหยุ่นกว่าแบบเส้น คือสามารถควบคุมและเปลี่ยนแปลงแบบรูปการแผ่พลังงานได้หลากหลาย ดังนั้นสายอากาศแถวลำดับระนาบมีความเอนกประสงค์มากและสามารถให้แบบรูปการแผ่พลังงานที่มีความสมดุลและมีพูรองที่ต่ำ ยิ่งไปกว่านั้นสายอากาศแถวลำดับระนาบสามารถที่จะหันพหุคูณในมุมเฉยและทุก ๆ ทิศ

รอบตัว 360° ดังนั้นสายอากาศแถวลำดับระนาบจึงเหมาะกับการนำไปใช้ในงานเรดาร์ การสื่อสาร ไร้สาย รวมถึงการก่อรูปลำคลื่นด้วยตัวเองอีกด้วย

ค่าตัวประกอบแถวลำดับของสายอากาศแถวลำดับระนาบ สามารถคำนวณหาได้โดยเริ่มจาก พิจารณามุม γ ตามที่แสดงในรูปที่ 2.3 ได้ดังนี้

$$\cos \gamma = \hat{x} \cdot \hat{r} = \hat{x} \cdot (\hat{x} \sin \theta \cos \phi + \hat{y} \sin \theta \sin \phi + \hat{z} \cos \theta) = \sin \theta \cos \phi \quad (2.3)$$

เมื่อ \hat{x} \hat{y} \hat{z} คือเวกเตอร์หนึ่งหน่วยของแกน x y และ z ตามลำดับ \hat{r} คือเวกเตอร์หนึ่งหน่วยของทิศทางของคลื่นที่มาตกกระทบสายอากาศ r โดย θ คือทิศทางของคลื่นเมื่ออ้างอิงกับแกน z และ ϕ คือทิศทางของคลื่นเมื่ออ้างอิงกับแกน x บนระนาบ x - y และ γ คือทิศทางของคลื่นเมื่ออ้างอิงกับแกน x บนระนาบ x - z ตามที่แสดงในรูปที่ 2.3

เมื่อพิจารณาเฉพาะแนวแกน x เราจะได้ค่าตัวประกอบแถวลำดับดังนี้

$$\begin{aligned} AF_x &= \sum_{m=1}^M I_{m1} e^{j(m-1)(kd_x \cos \gamma + \beta_x)} \\ &= \sum_{m=1}^M I_{m1} e^{j(m-1)(kd_x \sin \theta \cos \phi + \beta_x)} \end{aligned} \quad (2.4)$$

เมื่อ I_{m1} คือค่าสัมประสิทธิ์กระแสกระตุ้นของสายอากาศแต่ละต้น d_x คือระยะห่างของสายอากาศแต่ละต้นในแนวแกน x และ k คือหมายเลขคลื่น (wave number) $k = 2\pi/\lambda$ และ β_x คือค่าความต่างเฟสของสายอากาศแต่ละต้นในแนวแกน x เมื่อพิจารณาเฉพาะแนวแกน y ซึ่งเช่นเดียวกันกับกรณีที่พิจารณาเฉพาะแกน x เราจะได้ค่าตัวประกอบแถวลำดับเท่ากับ

$$AF_y = \sum_{n=1}^N I_{1n} e^{j(m-1)(kd_y \sin \theta \cos \phi + \beta_y)} \quad (2.5)$$

เมื่อ I_{1n} คือค่าสัมประสิทธิ์กระแสกระตุ้นของสายอากาศแต่ละต้น d_y คือระยะห่างของสายอากาศแต่ละต้นในแนวแกน y และ β_y คือค่าความต่างเฟสของสายอากาศแต่ละต้นในแนวแกน y ดังนั้นเราสามารถหาค่าตัวประกอบแถวลำดับของทั้งแกน x และ y รวมกันหรือที่เรียกว่าระนาบได้ด้วยการคูณค่าตัวประกอบแถวลำดับของทั้งแกน x และ y เข้าด้วยกันจะได้

$$AF = \sum_{n=1}^N I_{1n} \left[\sum_{m=1}^M I_{m1} e^{j(m-1)(kd_x \sin \theta \cos \phi + \beta_x)} \right] e^{j(n-1)(kd_y \sin \theta \cos \phi + \beta_y)} \quad (2.6)$$

สมมติให้กำลังส่งสัญญาณของสายอากาศแต่ละต้นทั้งในแกน x และ y มีค่าเท่ากัน ดังนั้นจะได้

$$I_{mn} = I_{m1} I_{1n} \quad (2.7)$$

และกำหนดให้กำลังส่งสัญญาณของสายอากาศแต่ละต้นมีค่าเท่ากับหนึ่งหน่วยจะได้ $I_{mn} = I_0$ ดังนั้นเราสามารถลดรูปสมการ (2.7) ลงเหลือเท่ากับ

$$AF = I_0 \sum_{m=1}^M e^{j(m-1)(kd_x \sin \theta \cos \phi + \beta_x)} \sum_{n=1}^N e^{j(n-1)(kd_y \sin \theta \cos \phi + \beta_y)} \quad (2.8)$$

เราสามารถทำสมการค่าตัวประกอบแถวลำดับให้อยู่ในรูปมาตรฐานได้โดยใช้ฟังก์ชันไซน์

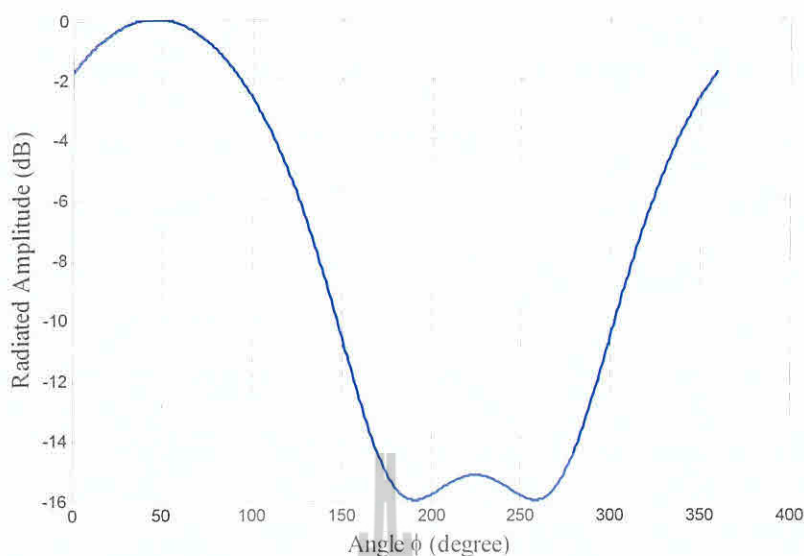
$$AF_n(\theta, \phi) = \left\{ \frac{1}{M} \frac{\sin\left(\frac{M}{2}\psi_x\right)}{\sin\left(\frac{\psi_x}{2}\right)} \right\} \left\{ \frac{1}{N} \frac{\sin\left(\frac{N}{2}\psi_y\right)}{\sin\left(\frac{\psi_y}{2}\right)} \right\} \quad (2.9)$$

เมื่อ

$$\psi_x = kd_x \sin \theta \cos \phi + \beta_x \quad (2.10)$$

$$\psi_y = kd_y \sin \theta \cos \phi + \beta_y \quad (2.11)$$

ดังนั้นจากสมการ (2.9) เราสามารถจำลองแบบรูปการแผ่พลังงานของสายอากาศแถวลำดับระนาบ 2×2 ตามที่แสดงในรูปที่ 2.5 เมื่อสายอากาศแต่ละต้นวางตัวห่างกัน $\lambda/4$ และทิศทางของพูลหลักคือ $\theta = 90^\circ$ เมื่ออ้างอิงกับแกน z และ $\phi = 45^\circ$ เมื่ออ้างอิงกับแกน x ตามที่ได้แสดงในรูปที่ 2.4 ดังนั้นจากสมการที่ (2.10) และ (2.11) ค่าความต่างเฟสของสายอากาศแต่ละต้นคือ $\beta_x = -kd_x \sin 90^\circ \cos 45^\circ$ และ $\beta_y = -kd_y \sin 90^\circ \cos 45^\circ$ จากรูปจะเห็นว่าพูลหลักสามารถหันไปในทิศ $\phi = 45^\circ$ เมื่ออ้างอิงกับแกน x ตามที่แสดงในรูปที่ 2.4 ได้ เนื่องจากเฟสของสายอากาศแต่ละต้นจะเท่ากันถ้าเดินทางไปในทิศ $\theta = 90^\circ$ และ $\phi = 45^\circ$ ซึ่งจะเห็นได้จากการนำเอาค่าความต่าง



รูปที่ 2.4 แบบรูปการแผ่พลังงานของสายอากาศแถวลำดับระนาบจำนวน 2×2

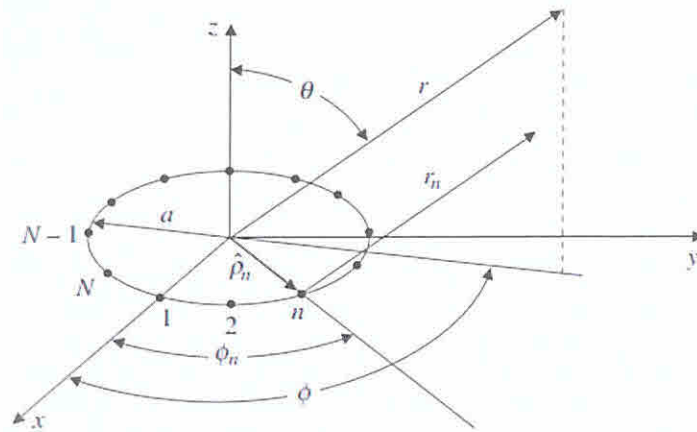
เฟส $\beta_x = -kd_x \sin 90^\circ \cos 45^\circ$ และ $\beta_y = -kd_y \sin 90^\circ \cos 45^\circ$ แทนกลับไปในสมการค่าตัวประกอบแถวลำดับ (2.15) จะทำให้ได้ผลรวมสัญญาณสูงสุด

2.2.3 สายอากาศแถวลำดับวงกลม

ในบางกรณีที่สายอากาศแถวลำดับแบบเส้นที่มีลักษณะขนาดใหญ่ไม่สามารถนำมาติดตั้งได้เนื่องจากข้อจำกัดทางพื้นที่ที่จะนำไปติดตั้งเช่นบนบนเพดานหรือบนหลังคาหลังการเป็นต้น สายอากาศแถวลำดับวงกลม (Circular array antenna array) [7] จึงเป็นอีกทางเลือกหนึ่งที่จะนำมาใช้ โดยสายอากาศแถวลำดับวงกลมมีข้อดีเช่นเดียวสายอากาศแถวลำดับระนาบ คือสามารถที่จะหันพู่หลักในมุมเงยและทุก ๆ ทิศรอบตัว 360° โดยรูปที่ 2.5 แสดงแบบจำลองของสายอากาศแถวลำดับวงกลม ที่มีสายอากาศจำนวน N ต้นที่วางอยู่บนระนาบ $x-y$ โดยตำแหน่งของสายอากาศแต่ละต้นจะถูกระบุด้วยรัศมี a และมุม ϕ_n ตามที่แสดงในรูปที่ 2.5 โดยเวกเตอร์หนึ่งหน่วยของสายอากาศแต่ละต้นคือ

$$\hat{\rho}_n = \cos \phi_n \hat{x} + \sin \phi_n \hat{y} \quad (2.12)$$

และเราสามารถกำหนดให้เวกเตอร์ทิศทางที่พิจารณาในสนามระยะไกลคือ



รูปที่ 2.5 สายอากาศแถวลำดับวงกลมจำนวน N ต้น [20]

$$\hat{r} = \sin \theta \cos \phi \hat{x} + \sin \theta \sin \phi \hat{y} + \cos \theta \hat{z} \quad (2.13)$$

จากรูปที่ 2.4 เวกเตอร์ \hat{r}_n จะมีขนาดเล็กกว่าเวกเตอร์ \hat{r} เท่ากับขนาดของสเกลาร์ของ $\hat{\rho}_n$ ที่ตั้งฉากกับ \hat{r} ดังนั้น

$$r_n = r - a \hat{\rho}_n \cdot \hat{r} \quad (2.14)$$

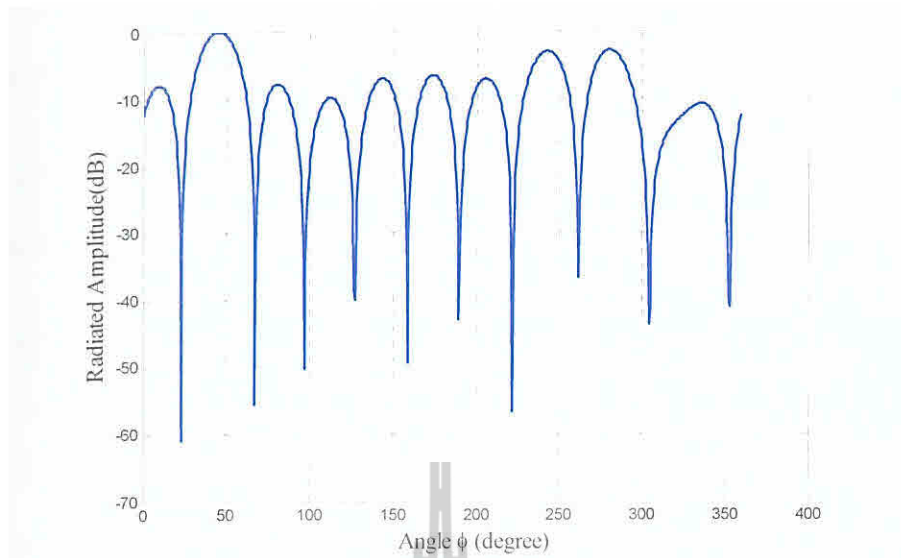
เมื่อ a คือตำแหน่งเชิงรัศมีของสายอากาศแต่ละต้นและ

$$\begin{aligned} \hat{\rho}_n \cdot \hat{r} &= \sin \theta \cos \phi \cos \phi_n + \sin \theta \sin \phi \sin \phi_n \\ &= \sin \theta \cos(\phi - \phi_n) \end{aligned} \quad (2.15)$$

จากรูปที่ 2.6 เมื่อ θ คือทิศทางของพู่หลักเมื่ออ้างอิงกับแกน z และ ϕ คือทิศทางของพู่หลักเมื่ออ้างอิงกับแกน x และ ϕ_n คือตำแหน่งเชิงมุมของสายอากาศแต่ละต้น

เช่นเดียวกับสายอากาศแถวลำดับระนาบ เมื่อได้เวกเตอร์หนึ่งหน่วยในทิศทางที่สนใจแล้ว จะสามารถหาสมการค่าตัวประกอบแถวลำดับดังนี้

$$AF = \sum_{n=1}^N e^{-j(k a \hat{\rho}_n \cdot \hat{r} + \delta_n)}$$



รูปที่ 2.6 แบบรูปการแผ่พลังงานของสายอากาศแถวลำดับวงกลมจำนวน 10 ต้น

$$= \sum_{n=1}^N e^{-j[k a \sin \theta \cos(\phi - \phi_n) + \delta_n]} \quad (2.16)$$

เมื่อ k คือหมายเลขคลื่น (Wave number) $k = 2\pi/\lambda$ δ_n คือค่าความต่างเฟสของสายอากาศแต่ละต้น และในกรณีที่สายอากาศวางตัวห่างกันอย่างสม่ำเสมอ ดังนั้นตำแหน่งเชิงมุมของสายอากาศแต่ละต้น ϕ_n สามารถคำนวณได้จาก

$$\phi_n = \frac{2\pi}{N} (n-1) \quad (2.17)$$

ถ้าเราให้ทิศทางของพหุคูณอยู่ที่ (θ_0, ϕ_0) ดังนั้นค่าความต่างเฟสของสายอากาศแต่ละต้นจะเท่ากับ $\delta_n = -k a \sin \theta_0 \cos(\phi_0 - \phi_n)$ ซึ่งจะได้ค่าตัวประกอบแถวลำดับในทิศทาง (θ_0, ϕ_0) ดังนี้

$$AF = \sum_{n=1}^N e^{-j\{k a [\sin \theta \cos(\phi - \phi_n) - \sin \theta_0 \cos(\phi_0 - \phi_n)]\}} \quad (2.18)$$

ดังนั้นจากสมการ (2.18) เราสามารถจำลองแบบรูปการแผ่พลังงานของสายอากาศแถวลำดับวงกลมตามที่แสดงในรูปที่ 2.6 โดยที่มีจำนวนสายอากาศ $N = 10$ ต้น รัศมีของแถวลำดับ $a = \lambda$ และทิศทางของพหุคูณของการก่อรูปลำคลื่นคือ $\theta_0 = 90^\circ$ เมื่ออ้างอิงกับแกน z และ $\phi_0 = 45^\circ$ เมื่ออ้างอิงกับแกน x ตามที่แสดงในรูปที่ 2.5 ดังนั้นค่าความต่างเฟสของสายอากาศแต่ละ

ต้นของสายอากาศแกลวลำดับวงกลม คือ $\delta_n = 2\pi \sin 90^\circ \cos(45^\circ - \phi_n)$ จากรูปจะเห็นว่าพหุคูณสามารถหันไปในทิศ $\phi_0 = 45^\circ$ ได้ เนื่องจากเฟสของสายอากาศแต่ละต้นจะเท่ากันถ้าเดินทางไป

ในทิศ $\theta_0 = 90^\circ$ และ $\phi_0 = 45^\circ$ ซึ่งเห็นได้จากถ้านำค่าความต่างเฟสในทิศทางดังกล่าวแทนค่ากลับไปในสมการค่าตัวประกอบแกลวลำดับ (2.18) จะได้เฟสสายอากาศแต่ละต้นเท่ากัน

2.3 การก่อรูปลำคลื่น

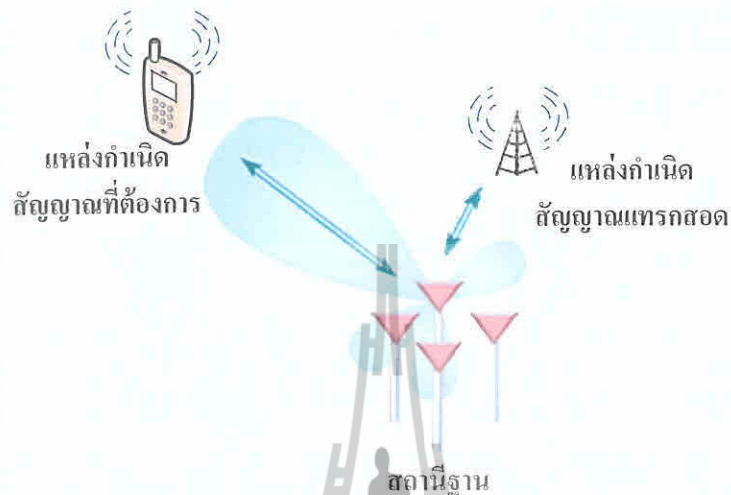
การก่อรูปลำคลื่น [8],[9] คือ วิธีการประมวลผลสัญญาณสำหรับระบบที่มีสายอากาศมากกว่าหนึ่งต้น เพื่อที่สามารถสร้างแบบรูปลำคลื่นที่มีพหุคูณหันไปยังทิศทางที่ต้องการและสามารถหันลำคลื่น (null) ไปยังทิศทางของสัญญาณแทรกสอดได้ ตามที่แสดงในรูปที่ 2.7 ซึ่งยกตัวอย่างการนำเอาการก่อรูปลำคลื่นไปใช้งานที่สถานีฐานในเครือข่ายโทรศัพท์ไร้สาย จะเห็นว่าการก่อรูปลำคลื่นสามารถหันพหุคูณไปยังทิศทางที่ต้องการนั้นคือโทรศัพท์ไร้สาย และสามารถหันลำคลื่นไปยังทิศทางของสัญญาณแทรกสอดที่อาจมาจากสถานีฐานอื่นในเครือข่ายข้างเคียง ด้วยความสามารถดังกล่าวส่งผลให้การก่อรูปลำคลื่นสามารถปรับปรุงประสิทธิภาพให้กับระบบการสื่อสารไร้สายได้ดังนี้

- 1) เพิ่มอัตราขยายของสายอากาศตั้งต้นจึงขยายพื้นที่ครอบคลุมให้กว้างขึ้น และทำให้ความเร็วในการสื่อสารข้อมูลสูงขึ้น
- 2) เนื่องจากการก่อรูปลำคลื่นด้วยตัวเองสามารถหันพหุคูณไปเฉพาะในทิศทางที่ต้องการเท่านั้น จึงไม่สูญเสียพลังงานไปในทิศทางอื่นทำให้ประหยัดพลังงานและยืดอายุการใช้งานแบตเตอรี่
- 3) ปรับปรุงเสถียรภาพของระบบให้ดีขึ้น
- 4) ลดสัญญาณแทรกสอด

ด้วยข้อดีดังกล่าวการก่อรูปลำคลื่นจึงได้ถูกนำไปประยุกต์ใช้ในหลาย ๆ งาน เช่น เรดาร์ โซนาร์ และการสื่อสารไร้สาย [10], [11] เป็นต้น

การก่อรูปลำคลื่นสามารถแบ่งได้เป็นสองประเภทคือการก่อรูปลำคลื่นด้วยตัวเองหรือการก่อรูปลำคลื่นโดยใช้สายอากาศแกลวลำดับและการก่อรูปลำคลื่นแบบกระจาย หรือการก่อรูปลำคลื่น

ด้วยการอาศัยความร่วมมือ โดยการก่อรูปลำคลื่นด้วยตัวเองจะอาศัยอากาศแถวลำดับที่มีตำแหน่งของสายอากาศที่แน่นอนในการก่อรูปลำคลื่นดังนั้นถูกข่ายหรือ โหนด (Node) ขณะที่การก่อรูปลำคลื่นแบบกระจายจะอาศัยความร่วมมือจากโหนดอื่น ๆ ที่อยู่ข้างเคียงที่มีการกระจายตัว



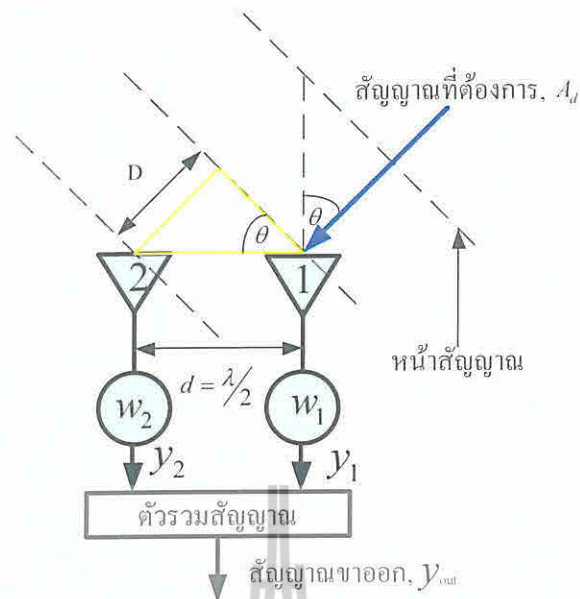
รูปที่ 2.7 การก่อรูปลำคลื่นที่มีพหุหลักหัน ไปยังทิศทางของสัญญาณที่ต้องการ และมีนัลล์หันไป ยังสัญญาณแทรกสอด

แบบสุ่มมาช่วยก่อรูปลำคลื่น ดังนั้นแต่ละ โหนดจึงไม่จำเป็นต้องใช้สายอากาศแถวลำดับเหมือนการก่อรูปลำคลื่นด้วยตัวเอง โดยการก่อรูปลำคลื่นด้วยตัวเองจะอธิบายในหัวข้อที่ 2.3.1 และการก่อรูปลำคลื่นแบบกระจายจะอธิบายในหัวข้อที่ 2.3.2

2.3.1 การก่อรูปลำคลื่นด้วยตัวเอง

การก่อรูปลำคลื่นด้วยตัวเองหรือสายอากาศเก่งแบบดั้งเดิม [4], [7], [12] ได้เริ่มพัฒนามาตั้งแต่ในช่วงปี ค.ศ.1980 เป็นต้นมา แต่เดิมการก่อรูปลำคลื่นด้วยตัวเองได้ถูกพัฒนาเพื่อใช้ในระบบเรดาร์แต่ต่อมาได้ถูกนำมาประยุกต์ใช้งานกับงานสื่อสารไร้สาย ซึ่งการก่อรูปลำคลื่นด้วยตัวเองจะประกอบด้วยกลุ่มของสายอากาศหลาย ๆ ต้น จัดเรียงตัวกันในรูปแบบต่าง ๆ กัน ตามที่ได้อธิบายใน ส่วนที่ 2.2 ร่วมกับการประมวลผลสัญญาณเพื่อที่จะหันพหุหลักไปในทิศทางที่ต้องการ

การก่อรูปลำคลื่นด้วยตัวเองประกอบด้วย 2 ส่วนหลัก ๆ ได้แก่ สายอากาศแถวลำดับและชุดประมวลผลสัญญาณ ซึ่งระบบนี้สามารถลดสัญญาณแทรกสอดได้โดยการหันพหุหลักไปยังทิศทางของสัญญาณที่ต้องการได้ โดยหลักการเบื้องต้นในการที่จะหันพหุหลักสามารถอธิบายได้โดย



รูปที่ 2.8 ระบบการก่อรูปลำคลื่นด้วยตัวเองเมื่อใช้สายอากาศแถวลำดับแบบเส้นจำนวน 2 ชั้น

ยกตัวอย่างการใช้ระบบสายอากาศแถวลำดับแบบเส้นจำนวน 2 ชั้นตามที่แสดงในรูปที่ 2.8 เมื่อ D คือความต่างของระยะทางของสัญญาณที่เดินทางมาตกกระทบสายอากาศแต่ละชั้น ซึ่งมีค่าเท่ากับ $d \sin \theta$ จากรูปสัญญาณที่สายอากาศแต่ละชั้นรับได้คือ

$$y_1 = w_1 A_d e^{j(kd \sin \theta)(n-1)} = w_1 A_d \quad (2.19)$$

$$y_2 = w_2 A_d e^{-j(kd \sin \theta)(n-1)} = w_2 A_d e^{-j(kd \sin \theta)} \quad (2.20)$$

เมื่อ d คือระยะห่างระหว่างสายอากาศแต่ละชั้น w_n คือค่าสัมประสิทธิ์การถ่วงน้ำหนักของสัญญาณ และ A_d คือสัญญาณที่ต้องการที่เดินทางมาตกกระทบสายอากาศในมุม θ ดังนั้นสัญญาณขาออก หรือ y_{out} คือ

$$\begin{aligned} y_{out} &= y_1 + y_2 \\ &= w_1 (A_d) + w_2 (A_d e^{-j(kd \sin \theta)}) \\ &= A_d (w_1 + w_2 e^{-j(kd \sin \theta)}) \end{aligned} \quad (2.21)$$

หลักการสำคัญของการก่อรูปลำคลื่นที่จะสามารถหันพู่หลักไปในทิศทางที่ต้องการได้ คือการปรับเฟสของสัญญาณที่รับเข้ามาด้วย w_n ที่เหมาะสม หรือในกรณีนี้เราต้องการปรับเฟสเพื่อให้ได้รับสัญญาณที่ต้องการสูงสุด ดังนั้นค่าสัมประสิทธิ์การถ่วงน้ำหนัก w_n คือ

$$w_1 = e^{j(0)} \quad (2.22)$$

และ

$$w_2 = e^{j(kd \sin \theta)} \quad (2.23)$$

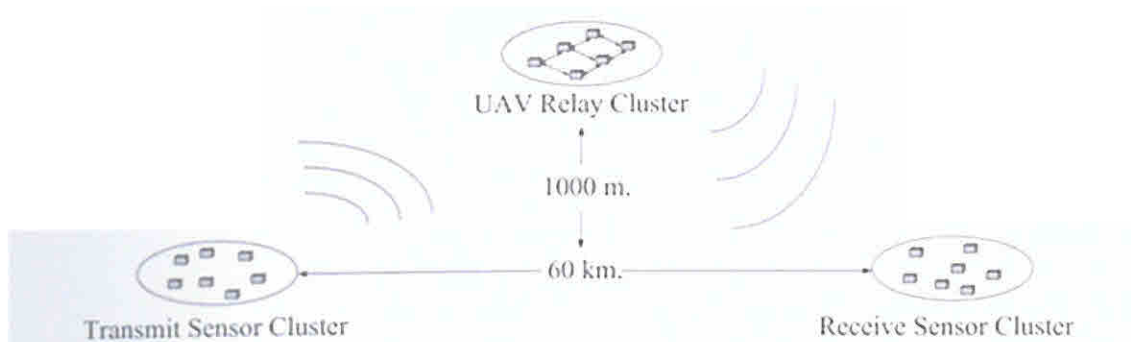
เมื่อแทนค่าสัมประสิทธิ์การถ่วงน้ำหนักที่ได้จากสมการ (2.22) และ (2.23) ลงใน (2.22) เราจะได้สัญญาณขาออกที่ได้สัญญาณที่ต้องการสูงสุดดังนี้

$$y_{out} = A_d \left(e^{j(0)} + e^{-j(kd \sin \theta)} e^{j(kd \sin \theta)} \right) = 2A_d \quad (2.24)$$

เนื่องจากการก่อรูปลำคลื่นด้วยตัวเองจำเป็นต้องติดตั้งสายอากาศแถวลำดับที่มีจำนวนสายอากาศหลายต้น ซึ่งเป็นการสิ้นเปลืองและยังไม่เหมาะสมที่จะนำไปติดตั้งบนอุปกรณ์ที่มีขนาดเล็กที่มีพื้นที่จำกัด อีกทั้งการติดตั้งสายอากาศแถวลำดับยังเป็นการเพิ่มน้ำหนักให้กับอุปกรณ์ทำให้ไม่เหมาะกับการนำไปใช้งานกับอุปกรณ์ขนาดเล็กที่มีการเคลื่อนที่ ดังนั้นจึงได้มีการพัฒนาการก่อรูปลำคลื่นแบบกระจายที่ใช้สายอากาศเพียงต้นเดียวต่ออุปกรณ์ ซึ่งจะกล่าวถึงในหัวข้อถัดไป

2.3.2 การก่อรูปลำคลื่นแบบกระจาย

การก่อรูปลำคลื่นแบบกระจาย (distributed beamforming) เป็นวิธีการสื่อสารที่อาศัยการร่วมมือจากอุปกรณ์สื่อสารหรือ โหนดอื่น ๆ ที่อยู่ใกล้เคียงกันในการก่อรูปลำคลื่น ซึ่งมีพื้นฐานมาจากทฤษฎีสายอากาศแถวลำดับที่มีการสุ่มตำแหน่งของสายอากาศ (random array antenna) [13] โดยทุกโหนดที่ร่วมมือจะส่งสัญญาณที่มีข้อมูลเหมือนกันและส่งพร้อม ๆ กันไปที่สถานีฐาน โดยสัญญาณที่ถูกส่งออกไปจากแต่ละโหนดจำเป็นต้องถูกทำการซิงโครไนซ์เฟสเพื่อที่ไม่ให้เกิดการหักล้างกันเองคอนรวมสัญญาณที่สถานีฐาน [14] เมื่อแต่ละ โหนดมีเฟสของสัญญาณที่สถานีฐานเท่ากัน ดังนั้นการ



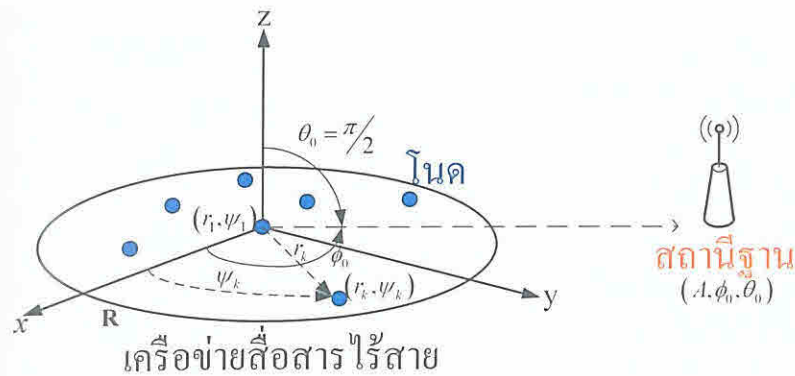
รูปที่ 2.9 การก่อรูปลำคลื่นแบบกระจายในการประยุกต์การใช้งานกับเครื่องบินไร้คนขับ [3]

ก่อรูปลำคลื่นแบบกระจายจึงสามารถก่อรูปลำคลื่นที่มีพหุลักษณะไปยังสถานีฐานได้ ด้วยเหตุนี้การก่อรูปลำคลื่นแบบกระจายจึงสามารถเพิ่มระยะทางการสื่อสารและเพิ่มอัตราขยายซึ่งได้จากการก่อรูปลำคลื่น โดยมีอัตราขยายเฉลี่ยเท่ากับ

$$E[P_R] = 1 + (K - 1)(E[\cos \phi_k]) \quad (2.25)$$

เมื่อ K คือจำนวนโนดและ ϕ_k คือเฟสของสัญญาณแต่ละโนด จากสมการจะเห็นว่าในกรณีที่เฟสซิงโครไนซ์ได้สมบูรณ์คือไม่มีความต่างเฟสเลยหรือเฟสของทุกโนดเท่ากัน ผลรวมสัญญาณ $E[P_R]$ จะเท่ากับจำนวนโนดซึ่งเป็นค่าสูงสุด นอกจากนี้การก่อรูปลำคลื่นแบบกระจายยังสามารถหันทิศทางของพหุลักษณะไปยังทิศทางที่ต้องการ ดังนั้นจึงสามารถเพิ่มอัตราส่วนสัญญาณต่อสัญญาณรบกวนและสัญญาณแทรกสอดได้เช่นเดียวกับการก่อรูปลำคลื่นด้วยตัวเอง แต่การก่อรูปลำคลื่นแบบกระจายมีข้อได้เปรียบที่ไม่ต้องการสายอากาศแถวลำดับในการก่อรูปลำคลื่น ดังนั้นจึงเหมาะสมที่จะนำมาประยุกต์ใช้งานกับระบบที่มีโนดขนาดเล็กและมีพลังงานจำกัด

รูปที่ 2.9 แสดงตัวอย่างการนำเอาการก่อรูปลำคลื่นแบบกระจายมาประยุกต์ใช้งานในเครือข่ายเซนเซอร์ไร้สาย โดยกลุ่มของเซนเซอร์ภาคส่งที่อยู่บนภาคพื้นดินร่วมมือกันก่อรูปลำคลื่นส่งไปที่กลุ่มของเครื่องบินไร้คนขับ (Unmanned Aerial Vehicle: UAV) ซึ่งอยู่ไกลกับภาคส่งมากจนเกินกว่าที่เซนเซอร์โนดตัวเดียวจะส่งสัญญาณถึง เช่นเดียวกันกลุ่มของเครื่องบินไร้คนขับก็จะร่วมมือกันก่อรูปลำคลื่นกลับมาที่เครือข่ายเซนเซอร์ไร้สายภาครับที่อยู่ไกลมาก ๆ



รูปที่ 2.10 แบบจำลองระบบการก่อรูปลำคลื่นแบบกระจาย

2.3.2.1 แบบจำลองการก่อรูปลำคลื่นแบบกระจาย

แบบจำลองระบบการก่อรูปลำคลื่นแบบกระจายได้ถูกแสดงในรูปที่ 2.10 เนื่องจากเราไม่ทราบตำแหน่งที่แน่นอนของโน้ดในเครือข่ายการก่อรูปลำคลื่นแบบกระจายได้เหมือนกับตำแหน่งที่แน่นอนของสายอากาศในสายอากาศแบบแถวลำดับ ดังนั้นตำแหน่งของโน้ดจำนวน K ($k = 1, \dots, K$) จะถูกสุ่มแบบสม่ำเสมออยู่บนระนาบ (x, y) และตำแหน่งของโน้ดจะถูกอ้างอิงอยู่ในรูปเชิงขั้ว (r_k, ψ_k) โดยที่ r_k คือตำแหน่งของโน้ดในเชิงรัศมี $r_k = \sqrt{x_k^2 + y_k^2}$ และ ψ_k คือตำแหน่งของโน้ดในเชิงมุม $\psi_k = \tan^{-1}(y_k/x_k)$ ขณะที่ตำแหน่งของสถานีปลายทางถูกอ้างอิงในรูปของเชิงทรงกลม (A, ϕ_0, θ_0) เช่นเดียวกับทฤษฎีสายอากาศแถวลำดับวงกลม [20] มุมจะถูกกำหนดอยู่ในช่วง $\theta \in [0, \pi]$ ขณะที่มุมแอดิมิตถูกกำหนดอยู่ในช่วง $\phi \in [\pi, -\pi]$ นอกจากนี้ในการจำลองแบบการก่อรูปลำคลื่นแบบกระจายเรายังกำหนดให้

- 1) ตำแหน่งของโน้ดถูกสุ่มให้กระจายตัวแบบสม่ำเสมออยู่บนระนาบ (x, y) ในขอบเขตรัศมีเครือข่าย R
- 2) กำหนดให้ตำแหน่งของสถานีฐานตั้งอยู่บนระนาบ (x, y) เช่นเดียวกันกับโน้ด ดังนั้น $\theta_0 = \pi/2$
- 3) กำหนดให้โน้ดและสถานีฐานติดตั้งสายอากาศแบบรอบทิศทางในระนาบเดียวจำนวน 1 คู่

- 4) กำหนดให้กำลังส่งสัญญาณและการสูญเสียเชิงวิถี (path loss) ของทุก โหนดมีค่าเท่ากัน ดังนั้นจึงสามารถวิเคราะห์แบบรูปพลังงานได้ในรูปแบบเดียวกับสายอากาศแฉวลำดับแบบปรกติได้
- 5) กำหนดให้ โหนดแต่ละ โหนดอยู่ห่างกันพอที่จะละเว้นการคำนวณถึงผลกระทบจากปรากฏการเชื่อมต่อร่วม

กำหนดให้ $d_k(\phi, \theta)$ คือระยะห่างระหว่าง โหนดที่ k กับสถานีฐานซึ่งสามารถคำนวณได้จากสมการระยะทางแบบยูคลิเดียน (Euclidean distance)

$$d_k(\phi, \theta) = \sqrt{A^2 + r_k^2 - 2r_k A \sin \theta \cos(\phi - \psi_k)} \quad (2.26)$$

และเฟสเริ่มต้นของแต่ละ โหนดในกรณีที่ทำซิงโครไนซ์เฟสแบบมีการอ้างอิงสัญญาณจากสถานีฐานสามารถคำนวณได้จาก

$$\Psi_k = -\frac{2\pi}{\lambda} d_k(\phi_0, \theta_0) \quad (2.27)$$

ดังนั้นจาก (2.26) และ (2.27) สามารถคำนวณหาสมการตัวประกอบแฉวลำดับได้ดังนี้

$$\begin{aligned} F(\phi, \theta, r, \psi) &= \frac{1}{K} \sum_{k=1}^K e^{j\Psi_k} e^{j\frac{2\pi}{\lambda} d_k(\phi, \theta)} \\ &= \frac{1}{K} \sum_{k=1}^K e^{j\frac{2\pi}{\lambda} [d_k(\phi, \theta) - d_k(\phi_0, \theta_0)]} \end{aligned} \quad (2.28)$$

เมื่อ K คือจำนวน โหนดทั้งหมด และ λ คือความยาวคลื่นความถี่วิทยุที่ใช้งาน

เมื่อพิจารณาแบบรูปการแผ่พลังงานที่สนามไกลจึงสามารถกำหนดให้ $A \ll r_k$ ดังนั้นสมการที่ (2.26) จึงสามารถลดรูปลงได้เป็น

$$d_k(\phi, \theta) \equiv A - r_k \sin \theta \cos(\phi - \psi_k) \quad (2.29)$$

ดังนั้นสมการค่าตัวประกอบแฉวลำดับที่มีแบบรูปสนามไกล ในกรณีที่ทำซิงโครไนซ์เฟสแบบมีการอ้างอิงสัญญาณจากสถานีฐานคือ

$$F(\phi, \theta | r, \psi) \approx \frac{1}{K} \sum_{k=1}^K e^{j \frac{2\pi}{\lambda} r_k [\sin \theta_0 \cos(\phi_0 - \psi_k) - \sin \theta \cos(\phi - \psi_k)]} \quad (2.30)$$

เช่นเดียวกันกับ (2.27) เฟสเริ่มต้นของแต่ละ โหนดในกรณีที่ทำซิงโครไนซ์เฟสแบบไม่มีการอ้างอิงสัญญาณจากสถานีฐานคือ

$$\Psi_k^\dagger = \frac{2\pi}{\lambda} r_k \sin \theta_0 \cos(\phi_0 - \psi_k) \quad (2.31)$$

ดังนั้นสมการค่าตัวประกอบแอมพลิจูดในกรณีที่ทำซิงโครไนซ์เฟสแบบไม่มีการอ้างอิงสัญญาณจากสถานีฐานคือ

$$\begin{aligned} F^\dagger(\phi, \theta | r, \psi) &= \frac{1}{K} \sum_{k=1}^K e^{j \Psi_k^\dagger} e^{j \frac{2\pi}{\lambda} d_k(\phi, \theta)} \\ &\approx \frac{1}{K} \sum_{k=1}^K e^{j \frac{2\pi}{\lambda} [A - r_k \sin \theta \cos(\phi - \psi_k) + r_k \sin \theta_0 \cos(\phi_0 - \psi_k)]} \\ &= e^{j \frac{2\pi}{\lambda} A} \frac{1}{K} \sum_{k=1}^K e^{j \frac{2\pi}{\lambda} r_k [\sin \theta_0 \cos(\phi_0 - \psi_k) - \sin \theta \cos(\phi - \psi_k)]} \end{aligned} \quad (2.32)$$

จากสมการที่ (2.30) และ (2.32) จะเห็นว่ารูปแบบของสมการที่ใกล้เคียงกับสมการตัวประกอบแอมพลิจูดของสายอากาศแอมพลิจูดแบบวงกลมตามที่ได้อธิบายในหัวข้อ 2.2.3 แต่ตำแหน่งของโหนดหรือสายอากาศ (r_k, ψ_k) จะถูกสุ่มซึ่งจำเป็นต้องทำซิงโครไนซ์เฟสเพื่อชดเชยความต่างเฟสที่เกิดจากการสุ่มตำแหน่งของโหนด ซึ่งสามารถทำได้ 2 วิธี คือวิธีซิงโครไนซ์เฟสแบบมีการอ้างอิงสัญญาณจากสถานีฐาน ซึ่งสามารถคำนวณได้ตามสมการ (2.27) โดยจะเห็นว่าต้องส่งสัญญาณไปกลับระหว่างโหนดเพื่อให้ได้ข้อมูลระยะห่างระหว่างโหนดกับสถานีฐานมาใช้ในการชดเชยเฟส ขณะที่อีกวิธีคือวิธีซิงโครไนซ์เฟสแบบไม่มีการอ้างอิงสัญญาณจากสถานีฐาน ซึ่งสามารถคำนวณได้ตามสมการ (2.31) วิธีนี้จะส่งสัญญาณไปกลับระหว่างโหนดกันเองเพื่อให้รู้ตำแหน่งของแต่ละโหนดมาใช้ในการชดเชยเฟส และอาจต้องการข้อมูลทิศทางของสถานีฐาน (ϕ_0, θ_0) เพิ่มเติมเพื่อให้สามารถหันพู่คลื่นหลักไปในทิศทางของสถานีฐานได้ถูกต้อง โดยข้อมูลทิศทางของสถานีฐานอาจหาได้จากให้สถานีฐานส่งสัญญาณอ้างอิงมาที่โหนด

จากที่เรากำหนดให้ตำแหน่งของโนดถูกสุ่มให้มีการกระจายตัวแบบสม่ำเสมออยู่บนระนาบ (x, y) ในขอบเขตรัศมีเครื่องข่าย R ดังนั้นฟังก์ชันความหนาแน่นความน่าจะเป็น (probability density function: pdf) ของตำแหน่งโนด (r_k, ψ_k) คือ

$$f_{r_k}(r) = \frac{2r}{R^2}, \quad 0 < r < R \quad (2.33)$$

$$f_{\psi_k}(\psi) = \frac{1}{2\pi}, \quad -\pi < \psi < \pi \quad (2.34)$$

และจากที่กำหนดให้ตำแหน่งของสถานีฐานอยู่บนระนาบ (x, y) เช่นเดียวกับโนด $\theta_0 = \pi/2$ ดังนั้นแบบสมการค่าตัวประกอบแถวลำดับสมการที่ (2.32) สามารถเขียนใหม่ได้เป็น

$$\begin{aligned} \tilde{F}(\phi | r, \psi) &= \frac{1}{K} \sum_{k=1}^K e^{j4\pi r_k \sin\left(\frac{\phi_1 - \phi}{2}\right) \sin\left(\psi_k - \frac{\phi_1 + \phi}{2}\right)} \\ &= \frac{1}{K} \sum_{k=1}^K e^{j4\pi \frac{R}{\lambda} \sin\left(\frac{\phi_1 - \phi}{2}\right) \tilde{r}_k \sin(\tilde{\psi}_k)} \end{aligned} \quad (2.34)$$

เมื่อ $\tilde{r}_k \triangleq r_k/R$ และ $\tilde{\psi}_k = \psi_k - ((\phi_0 + \phi)/2)$ และกำหนดให้

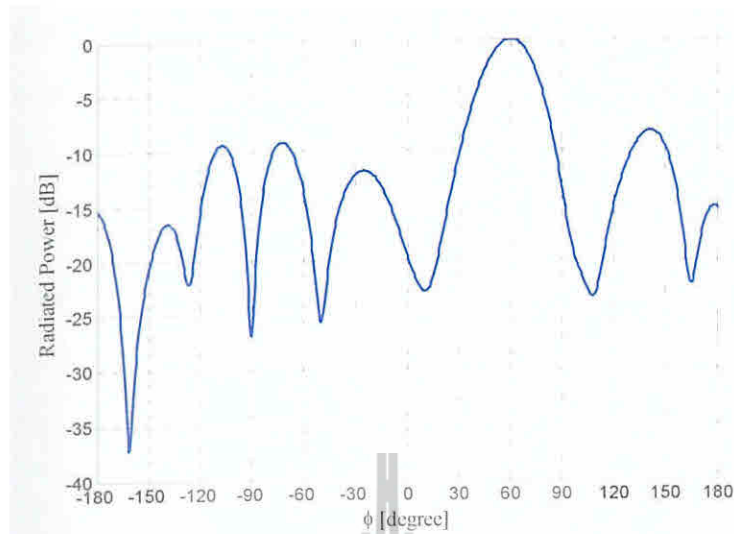
$$z_k \triangleq \tilde{r}_k \sin(\tilde{\psi}_k) \quad (2.35)$$

ซึ่ง z_k มีฟังก์ชันความหนาแน่นความน่าจะเป็นเท่ากับ

$$f_{z_k}(z) = \frac{2}{\pi} \sqrt{1-z^2}, \quad -1 \leq z \leq 1 \quad (2.36)$$

ดังนั้นจาก (2.42) และ (2.43) เราสามารถเขียนสมการค่าตัวประกอบแถวลำดับได้ดังนี้

$$\tilde{F}(\phi | z) = \frac{1}{K} \sum_{k=1}^K e^{j4\pi R \sin\left(\frac{\phi_1 - \phi}{2}\right) z_k} \quad (2.37)$$



รูปที่ 2.11 แบบรูปการแผ่พลังงานของการก่อรูปลำคลื่นแบบกระจาย

เมื่อ $\tilde{R} \ll R/\lambda$ คือรัศมีของเครื่องข่ายที่ถูกนอร์มัลไลซ์กับความยาวคลื่น ϕ_0 คือทิศทางของสถานีฐานและ $|\phi| = \pi$ ดังนั้นสุดท้ายเราจะได้แบบรูปลำคลื่นที่สนามไกลของการก่อรูปลำคลื่นแบบกระจายดังนี้

$$\begin{aligned}
 P(\phi|z) &\approx |\tilde{F}(\phi|z)|^2 \\
 &= \tilde{F}(\phi|z) \tilde{F}^*(\phi|z) \\
 &= \frac{1}{K^2} \sum_{k=1}^K \sum_{l=1}^K e^{j4\pi\tilde{R}\sin\left(\frac{\phi_0-\phi}{2}\right)(z_k-z_l)} \\
 &= \frac{1}{K} + \frac{1}{K^2} \sum_{k=1}^K e^{j\alpha(\phi)z_k} \sum_{\substack{l=1 \\ l \neq k}}^K e^{-j\alpha(\phi)z_l}
 \end{aligned} \tag{2.38}$$

เมื่อ $\alpha(\phi) \approx 4\pi\tilde{R}\sin\left(\frac{\phi_0-\phi}{2}\right)$

รูปที่ 2.11 แสดงถึงแบบรูปการแผ่พลังงานของการก่อรูปลำคลื่นแบบกระจายในกรณีที่มีการชิงโครโมสเฟสสมบรูณ์ที่ได้จากสมการ (2.38) เมื่อกำหนดให้จำนวนโนด K เท่ากับ 16 โนด $\tilde{R} \ll 1$ และทิศทางของสถานีฐาน $\phi_0 = 60^\circ$ จะเห็นว่า การก่อรูปลำคลื่นแบบกระจายสามารถหันพู

หลักไปยังสถานีฐานได้ เนื่องจากมีการปรับเฟสของแต่ละโนดให้เท่ากันด้วยการสมมุติให้ทราบตำแหน่งที่แน่นอนของโนด \tilde{r}_k และ $\tilde{\psi}_k$ ตามที่แสดงในสมการที่ (2.36) เมื่อมีการระบุตำแหน่งที่แน่นอนของโนด ดังนั้นโนดแต่ละโนดจึงสามารถปรับเฟสได้ถูกต้อง ซึ่งส่งผลให้ระบบการก่อรูปลำคลื่นแบบกระจายสามารถหันพู่หลักไปยังทิศทางของสถานีฐานได้เช่นเดียวกับสายอากาศแฉก ลำดับวงกลมที่ได้กล่าวถึงในหัวข้อที่ 2.2.3 แต่ในความเป็นจริงแล้วเราจะไม่สามารถทราบตำแหน่งที่แน่นอนของโนดได้ ดังนั้นระบบการก่อรูปลำคลื่นแบบกระจายจึงจำเป็นต้องทำการซิงโครไนซ์เฟสในหัวข้อที่ 2.4

2.4 การซิงโครไนซ์เฟสแบบวงรอบปิดโดยอาศัยการป้อนกลับสัญญาณ 1 บิต

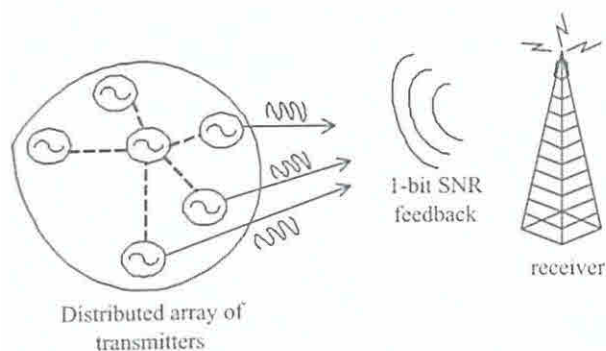
การซิงโครไนซ์เฟส (Phase synchronization) คือสัญญาณของแต่ละโนดจะต้องไม่หักล้างกันเองเมื่อรวมสัญญาณกันที่สถานีฐาน

การซิงโครไนซ์เฟสแบบวงรอบปิดโดยอาศัยการป้อนกลับสัญญาณ 1 บิต (one-bit feedback closed-loop synchronization) [1],[2] เป็นวิธีการที่อาศัยการป้อนสัญญาณอ้างอิงไปกลับระหว่างสถานีฐานและโนดเพื่อการซิงโครไนซ์เฟส โดยรูปที่ 2.12 แสดงแบบจำลองของการซิงโครไนซ์เฟสแบบวงรอบปิดโดยอาศัยการป้อนกลับสัญญาณ 1 บิต โนดแต่ละโนดจะส่งสัญญาณออกไปแบบสุ่มเฟส จากนั้นสถานีฐานจึงป้อนสัญญาณอ้างอิงกลับมา โดยสัญญาณเบสแบนด์ของแต่ละโนดที่ k ที่ถูกส่งไปหาสถานีฐานคือ

$$s_k(t) = A e^{j(\omega_c t + \theta_k)} x(t) \quad (2.39)$$

เมื่อ $\omega_c = 2\pi f_c$ คือย่านความถี่ที่ใช้งาน A คือกำลังส่งของสัญญาณที่ถูกลนอร์แมลไลซ์ให้เท่ากับหนึ่ง $x(t)$ คือข้อมูลที่ต้องการส่ง และ θ_k คือเฟสของสัญญาณของแต่ละโนด โดยเป้าหมายของการซิงโครไนซ์เฟสแบบวงรอบปิดโดยอาศัยการป้อนกลับสัญญาณ 1 บิต คือต้องการปรับสัญญาณของแต่ละโนด $A e^{j(\omega_c t + \theta_k)}$ ให้มีเฟสเท่ากันหรือซิงโครไนซ์เฟสกัน โดยจากสมการ (2.39) จะได้สัญญาณรวมของทุก ๆ โนดที่สถานีฐานได้ดังนี้

$$Y = x(t) \sum_{k=1}^K \alpha_k A e^{j(\omega_c t + \gamma_k + \theta_k)} \quad (2.40)$$



รูปที่ 3.1 แบบจำลองระบบการซิงโครไนซ์เฟสแบบวงจรมอดูเลชันโดยอาศัยการป้อนกลับสัญญาณ 1 บิต [1]

เมื่อ K คือจำนวนโหนด α_k คือการลดทอนในช่องสัญญาณโดย $\alpha_k \geq 0$ และ γ_k คือความต่างเฟสที่เกิดขึ้นในกระบวนการซิงโครไนซ์ความถี่ เนื่องจากโหนดแต่ละโหนดใช้ออสซิลเลเตอร์ประจำเครื่องที่ต่างกันซึ่งอาจส่งผลให้การซิงโครไนซ์ความถี่ในตอนแรกเกิดเฟสผิดพลาดขึ้นได้ในระบบ และ φ_k คือค่าความต่างเฟสที่เกิดขึ้นจากช่องสัญญาณ จาก (2.40) จะเห็นได้ว่าขนาดของผลรวมสัญญาณ Y จะขึ้นกับว่าเฟสของแต่ละโหนด $\theta_k + \gamma_k + \varphi_k$ นั้นเท่ากันหรือไม่ ดังนั้นในกระบวนการซิงโครไนซ์เฟสแบบวงจรมอดูเลชันโดยอาศัยการป้อนกลับสัญญาณ 1 บิต จึงมีการปรับเฟสของสัญญาณแต่ละโหนดโดยเริ่มจากการปรับเฟสของสัญญาณแบบสุ่มและส่งสัญญาณออกไปได้ดังนี้

$$Y_n = x(t) \sum_{k=1}^K \alpha_k A e^{j(\omega_c t + \Phi_k)} e^{j\delta_{k,n}} \quad (2.41)$$

เมื่อ $\Phi_k = \theta_k + \gamma_k + \varphi_k$ และ $\delta_{k,n}$ คือเฟสที่ถูกสุ่มขึ้นมาจากการส่งสัญญาณซ้ำครั้งที่ n โดยมีเป้าหมายเพื่อที่จะชดเชยความต่างเฟส θ_k จากนั้นสถานีฐานจะรับค่าสัญญาณที่ส่งเข้ามาครั้งแรก Y_1 และจะบันทึกกำลังรวมของสัญญาณที่ได้ไว้ หลังจากนั้นแต่ละโหนดจะส่งสัญญาณมาที่สถานีฐานซ้ำโดยปรับเฟสแบบสุ่ม $\delta_{k,n}$ อีกครั้ง เมื่อสถานีฐานรับสัญญาณได้ สถานีฐานจะเปรียบเทียบกำลังรวมของสัญญาณจากการส่งครั้งแรกกับครั้งที่สอง ถ้ากำลังรวมของสัญญาณของการส่งครั้งที่สองต่ำกว่าการส่งครั้งแรก สถานีฐานจะป้อนสัญญาณ บิต = 0 กลับไปที่โหนดเพื่อให้แต่ละโหนดยกเลิกการปรับเฟสที่ปรับครั้งล่าสุดและปรับเฟสแบบสุ่ม $\delta_{k,n}$ ขึ้นมาใหม่ แต่ถ้ากำลังรวมของ

สัญญาณของการส่งครั้งที่สองสูงกว่าการส่งครั้งแรก สถานีฐานจะป้อนสัญญาณ บิต = 1 กลับไปที่ โหนดซึ่งหมายความว่าให้แต่ละ โหนดจำค่าเฟส $\delta_{k,n}$ จากการส่งครั้งล่าสุดเอาไว้ แต่ยังคงปรับเฟสแบบ สุ่ม $\delta_{k,n+1}$ ขึ้นมาใหม่และส่งสัญญาณไปสถานีฐานอีกครั้ง ทำเช่นนี้ซ้ำไปเรื่อยเพื่อหาค่าเฟส $\delta_{k,n}$ ของแต่ละ โหนด ที่ให้สัญญาณรวม Y ที่มีกำลังรวมของสัญญาณสูงสุด โดยอัลกอริทึมของการ เปรียบเทียบกำลังรวมของสัญญาณสามารถอธิบายได้ดังนี้

$$\theta_{k,n+1} = \begin{cases} \theta_{k,n} + \delta_{k,n}, & Y_n > Y_best_n \\ \theta_{k,n}, & \text{otherwise} \end{cases} \quad (2.42)$$

เมื่อ Y_best_n คือสัญญาณรวมสูงสุดที่ได้จากการส่งสัญญาณครั้งที่ n ซึ่งสามารถอธิบายได้ดังนี้

$$Y_best_n = \max_{k < n} Y_k \quad (2.43)$$

แต่จากที่แต่ละ โหนดมีการปรับค่าเฟสใหม่และส่งสัญญาณซ้ำ ๆ ดังนั้นผลรวมของสัญญาณสูงสุดที่ ได้จากการส่ง $n + 1$ ครั้งคือ

$$Y_best_{n+1} = \max_{k < n} (Y_best_n, Y_n) \quad (2.44)$$

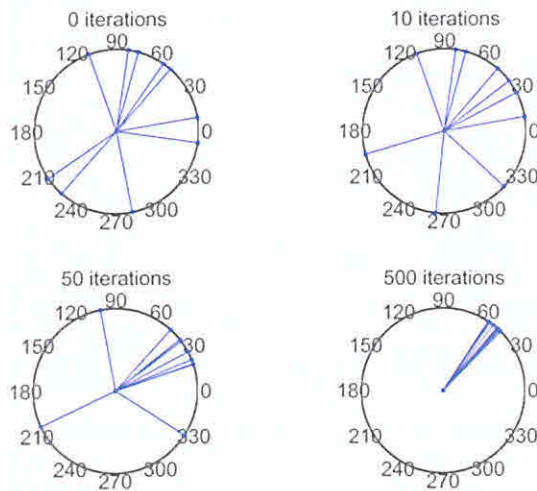
ซึ่งสามารถสรุปขั้นตอนของควมซิงโครไนซ์เฟสแบบวงรอบปิดโดยอาศัยการป้อนกลับสัญญาณ 1 บิตได้ดังนี้

ขั้นตอนที่ 1) แต่ละ โหนดปรับเฟสแบบสุ่ม

ขั้นตอนที่ 2) แต่ละ โหนดส่งสัญญาณออกไปในรูปแบบการก่อรูปลำคลื่นแบบกระจาย

ขั้นตอนที่ 3) สถานีฐานประมาณค่ากำลังสัญญาณรวมหรืออัตราส่วนสัญญาณต่อสัญญาณ

รบกวน (Signal-to-Noise Ratio: SNR) ที่รับได้



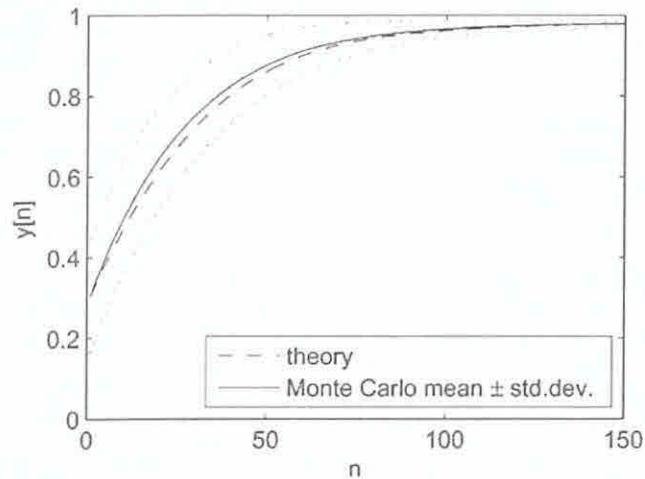
รูปที่ 2.13 ความต่างเฟสของแต่ละ โหนดหลังจากมีการปรับเฟสและส่งสัญญาณซ้ำ เมื่อมีจำนวน โหนดเท่ากับ 10 โหนด [1]

ขั้นตอนที่ 4) สถานีฐานจะป้อนกลับสัญญาณจำนวนหนึ่งบิตเพื่อที่จะบอกว่าอัตราส่วน สัญญาณต่อสัญญาณรบกวนที่รับมาได้ในครั้งนี้สูงกว่าหรือต่ำกว่าครั้งที่แล้ว โดยบิต 1 มีความหมาย ว่า อัตราส่วนสัญญาณต่อสัญญาณรบกวนที่รับได้สูงกว่าครั้งที่แล้ว ขณะที่บิต 0 มีความหมายว่า อัตราส่วนสัญญาณต่อสัญญาณรบกวนที่รับได้ต่ำกว่าครั้งที่แล้ว ถ้าอัตราส่วนสัญญาณต่อสัญญาณ

รบกวนที่รับมาได้สูงกว่าเดิม กำหนดให้แต่ละ โหนดจำค่าเฟสของการส่งครั้งล่าสุดไว้ แต่ถ้า อัตราส่วนสัญญาณต่อสัญญาณรบกวนที่รับมาได้ต่ำกว่าเดิม ให้ โหนดกลับไปจำค่าเฟสเดิมไว้

ขั้นตอนที่ 5) ทำวนขั้นตอนที่ 1-4 ซ้ำไปเรื่อย ๆ เพื่อหาเฟสของแต่ละ โหนดที่ให้ค่าอัตราส่วน สัญญาณต่อสัญญาณรบกวนที่สูงที่สุด

รูปที่ 2.13 แสดงตัวอย่างค่าความต่างเฟสของสัญญาณของแต่ละ โหนด Φ_k หลังจากผ่าน การซิงโครไนซ์เฟสแบบวงรอบปิดโดยอาศัยการป้อนกลับสัญญาณ 1 บิต โดยกำหนดให้จำนวน โหนดทั้งหมด $K = 10$ โหนด จากรูปจะเห็นว่ายิ่งมีการวนรอบส่งสัญญาณซ้ำ ๆ มากขึ้นเท่าไร เฟส ของแต่ละ โหนดยิ่งใกล้กันเข้าไปเท่านั้น ซึ่งส่งผลให้กำลังรวมของสัญญาณเพิ่มขึ้น โดยจากตัวอย่าง จะเห็นว่าเมื่อวนรอบเป็นจำนวน 500 รอบ ความต่างเฟสของแต่ละ โหนดจะกระจายตัวอยู่ในช่วง 0° ถึง 15° ซึ่งจะได้กำลังรวมของสัญญาณหรืออัตราขยายจากการก่อรูปลำคลื่นเท่ากับ 97% เมื่อเทียบกับอัตราขยายสูงสุด โดยอัตราขยายจากการก่อรูปลำคลื่นสามารถคำนวณได้จากสมการ (2.25) $E[P_R] = 1 + (K - 1)(E[\cos \phi_k])$ ที่ได้อธิบายในบทที่แล้ว ซึ่งจะเห็นว่าระบบจะได้อัตราขยาย สูงสุดเมื่อเฟสของทุก โหนดเท่ากัน โดยอัตราขยายสูงสุดที่ได้จะเท่ากับจำนวน โหนด K ถ้ากำลังส่ง



รูปที่ 2.14 จำนวนครั้งในการส่งสัญญาณซ้ำ n ครั้ง เมื่อเปรียบเทียบกับอัตราขยายที่ได้จากการก่อรูปลำคลื่นเมื่อจำนวน โหนดเท่ากับ 10 โหนด [1]

สัญญาณของแต่ละ โหนดเท่ากับหนึ่ง ดังนั้นในกรณีที่จำนวน โหนดเท่ากับ 10 โหนด ตามที่ยกตัวอย่างในรูปที่ 2.13 จะมีอัตราขยายสูงสุดเท่ากับ 10 และ เมื่อวนรอบเป็นจำนวน 500 รอบ ความต่างเฟสของแต่ละ โหนดจะมีค่ากระจายตัวอยู่ในช่วง 0° ถึง 15° ดังนั้นเมื่อวนรอบเป็นจำนวน 500 รอบ ระบบได้อัตราขยายเท่ากับ $E[P_R] = 1 + (10 - 1)(E[\cos 15^\circ]) = 9.7$ หรือ 97% เมื่อเทียบอัตราขยายสูงสุด

โดยอัตราขยายจากการก่อรูปลำคลื่นที่ได้จากการส่งสัญญาณซ้ำจำนวน n ครั้ง ในกรณี K โหนดใด ๆ สามารถคำนวณหาได้จากสมการดังต่อไปนี้

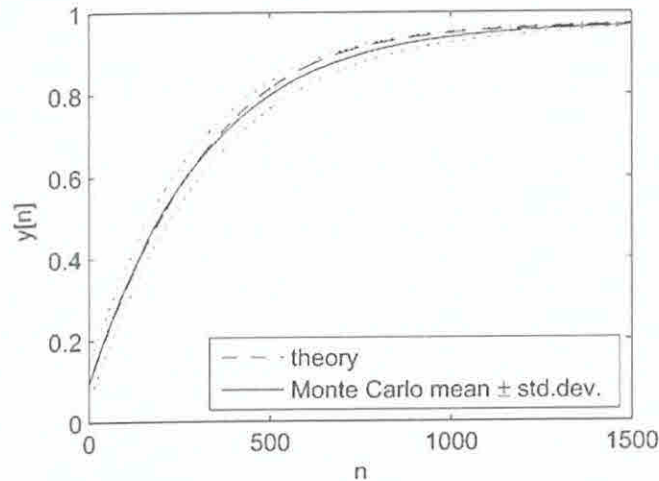
$$h_n(y) = \sigma_{\text{sr}}[n] i\left(\frac{y(1-x_n)}{\sigma_{\text{sr}}[n]}\right) \quad (2.45)$$

เมื่อ

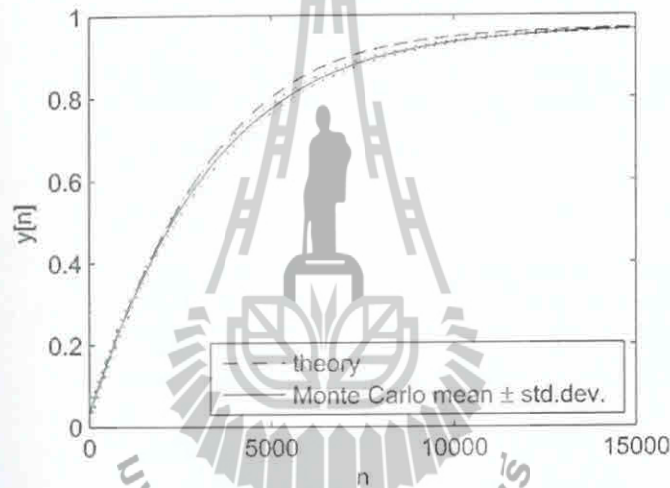
$$i(x) \square \frac{1}{\sqrt{2\pi}} e^{-\frac{x^2}{2}} - xQ(x) \quad (2.46)$$

ส่วน $Q(x)$ คือฟังก์ชันแจกแจงสะสมของการสุ่มแบบเกาส์ซึ่งสามารถคำนวณหาได้จาก

$$Q(x) \square \int_x^\infty \frac{1}{\sqrt{2\pi}} e^{-\frac{t^2}{2}} dt \quad (2.47)$$



รูปที่ 2.15 จำนวนครั้งในการส่งสัญญาณซ้ำ n ครั้ง เมื่อเปรียบเทียบกับอัตราขยายที่ได้จากการก่อรูปลำคลื่นเมื่อจำนวนโนดเท่ากับ 100 โนด [1]



รูปที่ 2.16 จำนวนครั้งในการส่งสัญญาณซ้ำ n ครั้ง เมื่อเปรียบเทียบกับอัตราขยายที่ได้จากการก่อรูปลำคลื่นเมื่อจำนวนโนดเท่ากับ 1000 โนด [1]

และ $\sigma_{y_n}^2[n]$ คือค่าเบี่ยงเบนมาตรฐานของกำลังของสัญญาณ Y_n ที่เกิดจากการสุ่มเฟส $\delta_{k,n}$ ซึ่งสามารถคำนวณหาได้จาก

$$\sigma_{y_n}^2[n] = \frac{1}{2K^2} \sum_{k=1}^K \alpha_k^2 (1 - x_n^2 - \rho_n E_{y,n} [\cos(2\phi_i[n])]) \quad (2.48)$$

เมื่อ α_k คือการลดทอนในช่องสัญญาณ เมื่อ $x_n = E[\cos(\delta_i[n])]$ และ $\rho_n = x_n^2 - E[\cos(2\delta_i[n])]$

รูปที่ 2.14 แสดงค่าอัตราขยายที่ได้จากการก่อรูปลำคลื่น $y[n]$ เมื่อเปรียบเทียบกับจำนวนครั้งในการส่งสัญญาณซ้ำ n ครั้ง ที่ได้จากการคำนวณทางทฤษฎีจากสมการ (2.45) และการจำลองผลแบบ

วิธีการมอนติคาร์โล (Monte Carlo) ในกรณีที่มีจำนวนโนด $K = 10$ โนด เมื่อค่าการปรับเฟสของแต่ละโนด δ_i กระจายตัวอยู่ในช่วง -31.6° ถึง 31.6° ขณะที่เส้นจุดสองเส้นในรูป คือค่าเบี่ยงเบนมาตรฐานของ $[Y_{best,n}]/K$ ตามที่นิยามในสมการ (2.43) โดยค่าเบี่ยงเบนมาตรฐานจะแสดงขอบเขตบนและขอบเขตล่างของค่าเฉลี่ยที่ได้จากการจำลองผลแบบวิธีการมอนติคาร์โล จากรูปจะเห็นว่าแต่ละโนดจำเป็นต้องปรับเฟสและส่งสัญญาณซ้ำ ถึงจำนวน 100 รอบ จึงจะสามารถได้อัตราขยายจากการก่อรูปลำคลื่นเท่ากับ 90% เทียบกับอัตราขยายสูงสุด ขณะที่เพิ่มจำนวนโนดมากขึ้นเป็น 100 โนด และ 1,000 โนดตามที่แสดงในรูปที่ 2.15 และ รูปที่ 2.16 ตามลำดับ จากรูปจะเห็นว่าในกรณี 100 โนด ต้องการส่งสัญญาณซ้ำ อย่างต่ำจำนวน 1,000 รอบ เพื่อให้ได้อัตราขยายจากการก่อรูปลำคลื่นประมาณ 90% ส่วนกรณี 1,000 โนด ต้องการส่งสัญญาณซ้ำ อย่างต่ำจำนวน 10,000 รอบ เพื่อให้ได้อัตราขยายจากการก่อรูปลำคลื่นเท่ากับ 90% จะเห็นได้ว่ายิ่งจำนวนโนดเพิ่มมากขึ้นแต่ละโนดจะต้องวนรอบส่งสัญญาณซ้ำมากขึ้น ซึ่งสามารถอธิบายได้ตามสมการที่ (2.45) ที่แปรผันตามจำนวน K โนด และจากรูปที่ 2.14 รูปที่ 2.15 และ รูปที่ 2.16 สามารถสรุปได้ว่าในกรณีที่ต้องการอัตราขยายจากการก่อรูปลำคลื่นมากกว่า 90% แต่ละ โนดต้องส่งสัญญาณซ้ำอย่างต่ำจำนวน 10 เท่าของจำนวนโนด หรือ $n \geq 10K$

2.5 กล่าวสรุป

ตารางที่ 2.1 การเปรียบเทียบคุณสมบัติระหว่างการก่อรูปลำคลื่นด้วยตัวเองกับการก่อรูปลำคลื่นแบบกระจาย

| การก่อรูปลำคลื่นด้วยตัวเอง | การก่อรูปลำคลื่นแบบกระจาย |
|--|--|
| - สามารถหันพู่หลักไปยังทิศทางที่ต้องการได้ | - สามารถหันพู่หลักไปยังทิศทางที่ต้องการได้ |
| - โหนดต้องติดตั้งสายอากาศแถวลำดับ | - โหนดต้องการสายอากาศเพียงต้นเดียวในการก่อรูปลำคลื่น |
| - ต้องการหน่วยประมวลผลสัญญาณในการก่อรูปลำคลื่น | - ต้องทำการซิงโครไนซ์เฟส |

จากการเปรียบเทียบคุณสมบัติของการก่อรูปลำคลื่นแบบกระจายกับการก่อรูปลำคลื่นด้วยตัวเองตามที่สรุปไว้ในตารางที่ 2.1 พบว่าทั้งการก่อรูปลำคลื่นด้วยตัวเองและการก่อรูปลำคลื่นแบบกระจายมีความสามารถในการหันพู่หลักไปยังทิศทางที่ต้องการได้เช่นเดียวกัน แต่ทั้งสองระบบจะต่างกันที่การก่อรูปลำคลื่นด้วยตัวเองต้องการสายอากาศแถวลำดับที่มีจำนวนสายอากาศหลายต้นเพื่อใช้ในการก่อรูปลำคลื่น ในขณะที่การก่อรูปลำคลื่นแบบกระจายต้องการสายอากาศเพียงต้นเดียวต่อโหนดในการก่อรูปลำคลื่น ด้วยข้อได้เปรียบนี้การก่อรูปลำคลื่นแบบกระจายจึงเหมาะสมที่จะนำมาประยุกต์ใช้กับโหนดที่มีขนาดเล็กที่สามารถเคลื่อนที่ได้ มีพลังงานจำกัดและช่วยลดค่าใช้จ่ายที่ต้องใช้ในการติดตั้งสายอากาศแถวลำดับ แต่ก็แลกมาด้วยการก่อรูปลำคลื่นแบบกระจายจำเป็นต้องทำการซิงโครไนซ์เฟสเพื่อก่อรูปลำคลื่น คือสัญญาณของแต่ละโหนดจะต้องไม่หักล้างกันเองเมื่อรวมสัญญาณกันที่สถานีฐาน ซึ่งการซิงโครไนซ์เฟสแบบ one-bit feedback เป็นวิธีการที่อาศัยการป้อนสัญญาณอ้างอิงไปกลับระหว่างสถานีฐานและโหนดเพื่อการซิงโครไนซ์เฟส ในกรณีที่ต้องการอัตราขยายจากการก่อรูปลำคลื่นมากกว่า 90% แต่ละโหนดต้องส่งสัญญาณซ้ำอย่างต่ำจำนวน 10 เท่าของจำนวนโหนด หรือ $n \geq 10K$

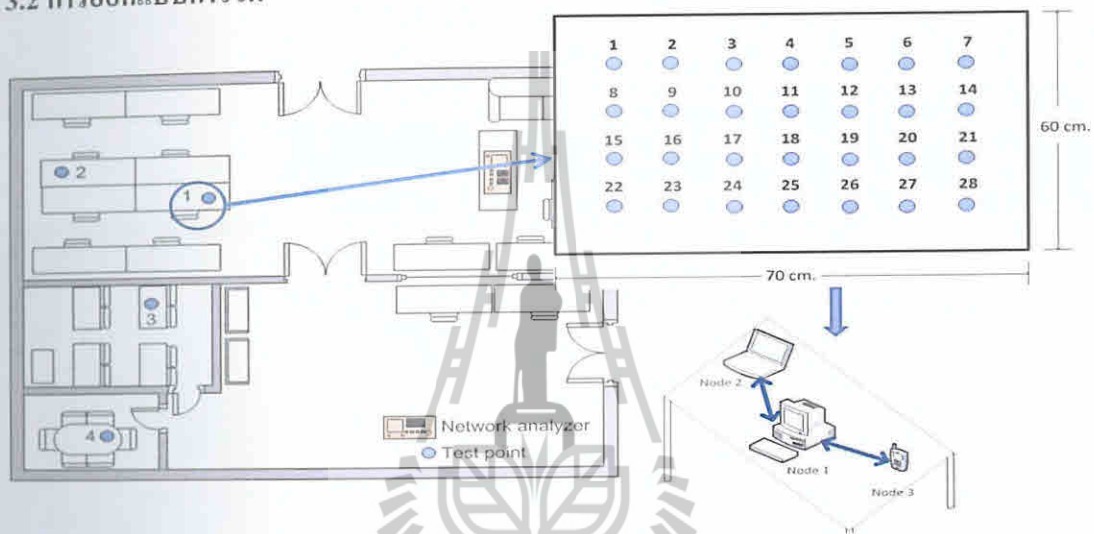
บทที่ 3

วิธีการดำเนินการทำโครงการ

3.1 กล่าวนำ

ในบทนี้จะกล่าวถึงวิธีการดำเนินการของโครงการ และอุปกรณ์ที่ใช้ในการทดลอง เพื่อให้ผู้อ่านเข้าใจถึงรูปแบบลักษณะของโครงการนี้

3.2 การออกแบบการวัด



- กำหนดพื้นที่การทดลอง คือ แลปโทรคมนาคม ที่ F4 โดยกำหนดจุดการทดลองเป็น 4 กรณี คือ
 1. LOS ใกล้เคียง
 2. LOS ไกล
 3. NON-LOS ใกล้เคียง
 4. NON-LOS ไกล

- กำหนดให้ขอบเขตการกระจายตัวของ โหนดอยู่ในพื้นที่ขนาดเล็ก ซึ่งมีขนาดเท่ากับ 60x70

ชม. โดยอ้างอิงจากขนาดโต๊ะทำงาน

- กำหนดให้จำนวน โหนดที่ทดสอบเท่ากับ 28 โหนด
- กำหนดให้โหนดทั้งภาครับและภาคส่งใช้งานที่ 2.6 GHz
- โดยทำการวัดทั้งหมด 2 ครั้ง

- ครั้งที่ 1 จะทำการวัดเฟสแต่ละจุดทั้ง 28 โหนด โหนดละ 3 ค่าการทดลอง
- ครั้งที่ 2 จะทำการวัดเฟสแต่ละจุดที่ตำแหน่งโหนดกึ่งกลาง คือ โหนดที่ 11 ตำแหน่งจุดละ 100 ค่าการทดลอง

3.3 อุปกรณ์ที่ใช้ในการทดลอง



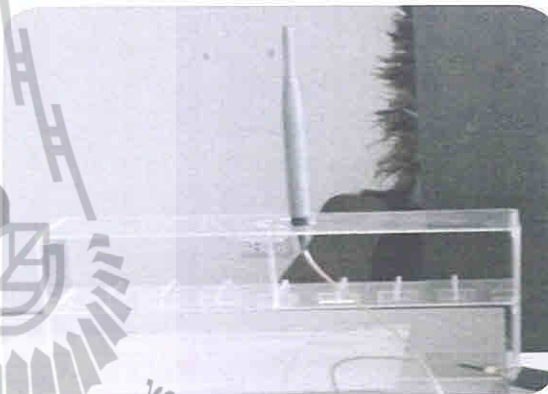
PA



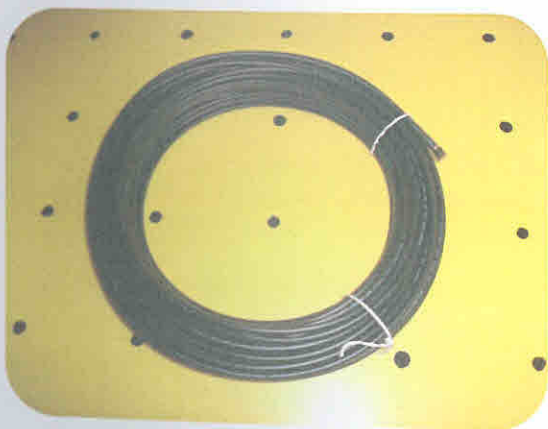
LNA



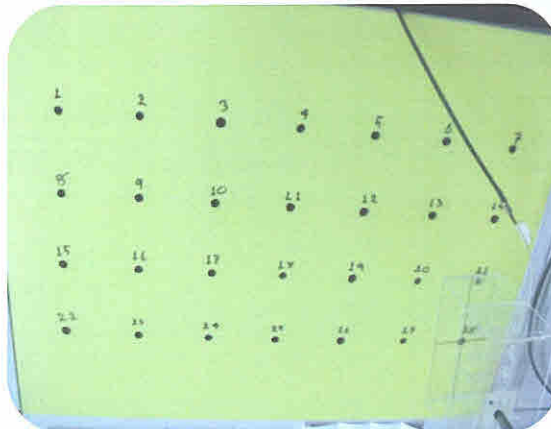
เครื่องมือวัด Network Analyzer



เสาอากาศและฐานตั้ง

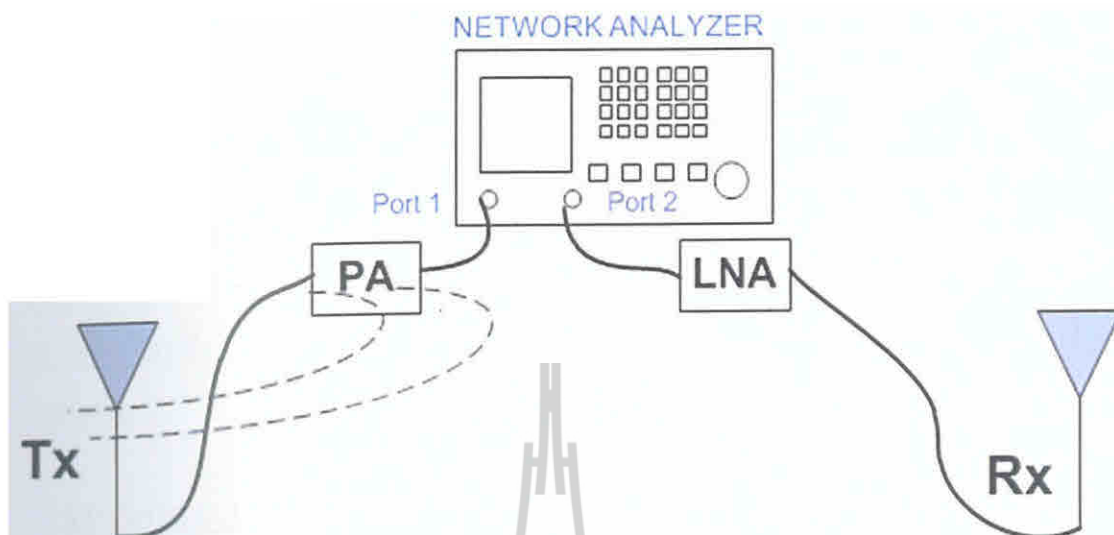


สาย CFD 200



ตำแหน่ง โหนดที่ใช้วัด

3.4 การเชื่อมต่ออุปกรณ์



- ภาคลัง Port 1 ต่อเข้ากับ input ของ PA และสายอากาศออกที่ output ของ PA
- ภาครับ Port 2 ต่อเข้ากับ input ของ LNA และสายอากาศออกที่ output ของ LNA

3.5 การวัด

- ทำการ calibrate สายที่ทำการวัดทั้งหมด

วิธีการ Calibrate สาย

- กดปุ่ม Manu เลือก CW FREQ ใส่ความถี่ที่ต้องการคือ 2.6 GHz
- กดปุ่ม Meas เลือก S21
- กดปุ่ม CAL เพื่อทำการ calibrate
- เลือก CAL Manu เลือก Response เลือก True
- กดปุ่ม Marker
- กดปุ่ม Avg แล้วเปลี่ยนจาก Avg off เป็น Avg on และเปลี่ยนจาก Smoothing off เป็น Smoothing on

บทที่ 4

ผลการทดลองและการวิเคราะห์ผล

4.1 กล่าวนำ

ในบทนี้จะกล่าวถึงผลการวัดและการวิเคราะห์ผลที่จะแสดงให้เห็นถึงการกระจายตัวของเฟสในพื้นที่ขนาดเล็ก และผลกระทบที่มีต่อประสิทธิภาพของระบบ

4.2 ผลการวัดครั้งที่ 1

ผลการวัดเฟส

Location 1: Near LOS

Note: unit is degree

Time 1

| Row/ Column | 1 | 2 | 3 | 4 | 5 | 6 | 7 |
|----------------|------|------|------|------|------|------|------|
| 1 | 26.9 | 27.1 | 18.9 | 23.1 | 31.2 | 19.8 | 42.5 |
| 2 | 37.5 | 29.1 | 4.5 | 27.3 | 43.1 | 23.8 | 20.1 |
| 3 | 35.4 | 11.9 | 4.6 | 60.5 | 47.8 | 10.2 | 30.7 |
| 4 | 46.5 | 26.8 | 28.7 | 30.8 | 24.1 | 45.6 | 18.2 |

Mean = 26.3°

Time 2

| Row/ Column | 1 | 2 | 3 | 4 | 5 | 6 | 7 |
|----------------|------|------|------|-------|------|------|------|
| 1 | 32.3 | 30.3 | 25.6 | 29.8 | 32 | 20.5 | 39.5 |
| 2 | 34.2 | 21.4 | 4.9 | 23.8 | 35.8 | 25.7 | 28.3 |
| 3 | 30.3 | 5 | -7.4 | 36.6 | 43.2 | 2.9 | 28.2 |
| 4 | 53.1 | 29.5 | 21.2 | -15.7 | 21.6 | 44.5 | 16.5 |

Mean = 24.8°

Time 3

| Row/ Column | 1 | 2 | 3 | 4 | 5 | 6 | 7 |
|----------------|------|------|------|------|------|------|------|
| 1 | 36.1 | 29.8 | 18.5 | 22.7 | 30.4 | 23.1 | 36.2 |
| 2 | 40.1 | 20 | 6.4 | 27.9 | 28.8 | 19.2 | 27.6 |
| 3 | 28.7 | 7.9 | 6.8 | 18.6 | 41.6 | 16.8 | 26.9 |
| 4 | 50.2 | 30.2 | 21.3 | -8.3 | 4.3 | 36.9 | 19 |

Mean = 23.8°

Location 2: Far LOS

Note: unit is degree

Time 1

| Row/ Column | 1 | 2 | 3 | 4 | 5 | 6 | 7 |
|----------------|------|------|------|------|------|------|------|
| 1 | 12.6 | 28.5 | 45.6 | 38.1 | 26 | 2.9 | 25.1 |
| 2 | 22.5 | 6.9 | 13.7 | 17.5 | -1.1 | 14.2 | 38.2 |
| 3 | 19.6 | 10.4 | 23.9 | 76.5 | 31.3 | 53.2 | 15.8 |
| 4 | 21.3 | 21.3 | 34.8 | 15.3 | 7.1 | 49.2 | 46.7 |

Mean = 25.6°

Time 2

| Row/ Column | 1 | 2 | 3 | 4 | 5 | 6 | 7 |
|----------------|------|------|------|------|------|------|------|
| 1 | 4.5 | 20.6 | 36.6 | 10.5 | 30.3 | -4.7 | 22.8 |
| 2 | 33.1 | 19.2 | 12.6 | 26.1 | 2.3 | 11.2 | 33.6 |
| 3 | 29.6 | 15 | 29.4 | 66.2 | 29.2 | 40.9 | 57.4 |
| 4 | 19.8 | 13.5 | 38.2 | 25.8 | 3 | 51.2 | 56.2 |

Mean = 26.2°

Time 3

| Row/ Column | 1 | 2 | 3 | 4 | 5 | 6 | 7 |
|----------------|------|------|------|------|------|------|------|
| 1 | 10.2 | 22.8 | 39.4 | 10.3 | 23.9 | 1.8 | 16.8 |
| 2 | 32.2 | 38.1 | 20.9 | 21.5 | 5.7 | 23.7 | 43.6 |
| 3 | 37.9 | 25.8 | 31.8 | 60.9 | 33.6 | 18.8 | 50.7 |
| 4 | 7.9 | 14.1 | 38.6 | 26.8 | 13.5 | 49.6 | 48.7 |

Mean = 27.5°

Location 3: Near NLOS

Note: unit is degree

Time 1

| Row/ Column | 1 | 2 | 3 | 4 | 5 | 6 | 7 |
|----------------|------|------|------|------|------|------|------|
| 1 | 10 | 12.5 | 7.2 | 13.8 | 35.7 | 15.8 | 4.7 |
| 2 | 24.3 | 7.9 | 15.8 | 18.5 | 14.8 | 4.9 | -2.2 |
| 3 | -1.9 | 12 | 9.8 | 22.3 | 31.5 | -3.6 | 11.8 |
| 4 | 23.8 | 28.9 | 15.7 | 37.6 | 4.2 | 15.1 | 5.4 |

Mean = 14.5°

Time 2

| Row/ Column | 1 | 2 | 3 | 4 | 5 | 6 | 7 |
|----------------|------|------|------|------|------|------|------|
| 1 | 12.2 | 20.4 | 10.9 | 15.9 | 46.9 | 22.4 | 2.8 |
| 2 | 22.5 | 6.5 | 11.7 | 22.8 | 16.9 | 6.6 | 2.4 |
| 3 | 7.6 | 4.8 | 15.3 | 26.4 | 36.6 | 5.5 | 12.9 |
| 4 | 24.5 | 21.7 | 30.9 | 33.5 | 13.2 | 22.9 | 1.8 |

Mean = 17.1°

Time 3

| Row/ Column | 1 | 2 | 3 | 4 | 5 | 6 | 7 |
|----------------|------|------|------|------|------|------|------|
| 1 | 13.8 | 9.8 | 8.7 | 3.4 | 40.2 | 17.7 | 5.1 |
| 2 | 17.9 | 7.5 | 5.2 | 14.1 | 13.3 | 6.2 | -2.4 |
| 3 | 10.2 | 7.9 | 14.7 | 20.1 | 40.9 | 2.8 | 13.5 |
| 4 | 23.8 | 19.2 | 35.7 | 30.5 | 24.1 | 24.2 | -1.2 |

Mean = 15.2°

Location 4: Far NLOS

Note: unit is degree

Time 1

| Row/ Column | 1 | 2 | 3 | 4 | 5 | 6 | 7 |
|----------------|------|-------|------|------|-----|------|------|
| 1 | 7.4 | 38.6 | 22.5 | 23.2 | 5.6 | 19.7 | 16.4 |
| 2 | 15.5 | 2.3 | 21.7 | 31.9 | 2.5 | 11.9 | 29.5 |
| 3 | 8.5 | -17.5 | 14.9 | 9.8 | 7.1 | -2.3 | 24.3 |
| 4 | 22.3 | 2 | 3.2 | -2.7 | 20 | 12.6 | 28.1 |

Mean = 13.5°

Time 2

| Row/ Column | 1 | 2 | 3 | 4 | 5 | 6 | 7 |
|----------------|------|-------|------|------|------|------|------|
| 1 | 21.7 | 40.9 | 14 | 21.5 | 14.6 | 24.8 | 12.6 |
| 2 | 20 | -4.5 | 35.1 | 35.9 | -6.7 | 16.8 | 34.8 |
| 3 | 7.6 | -17.3 | 12.8 | 23.6 | 9.7 | -6.6 | 29.1 |
| 4 | 18.9 | 8.2 | 3.6 | 7.5 | -9.8 | 16.7 | 5.9 |

Mean = 14°

Time 3

| Row/ Column | 1 | 2 | 3 | 4 | 5 | 6 | 7 |
|----------------|------|------|------|------|------|------|------|
| 1 | 5.8 | 39.6 | 27.4 | 18.7 | 7.1 | 22.3 | 20.3 |
| 2 | 8.9 | 4.8 | 35.1 | 41.2 | 4.7 | 8.7 | 27.7 |
| 3 | 19.2 | -9.8 | 18.7 | 4.5 | 3 | 3.4 | 34.3 |
| 4 | 23.8 | 1.7 | 7.8 | 6.4 | 17.4 | 19.2 | 23.8 |

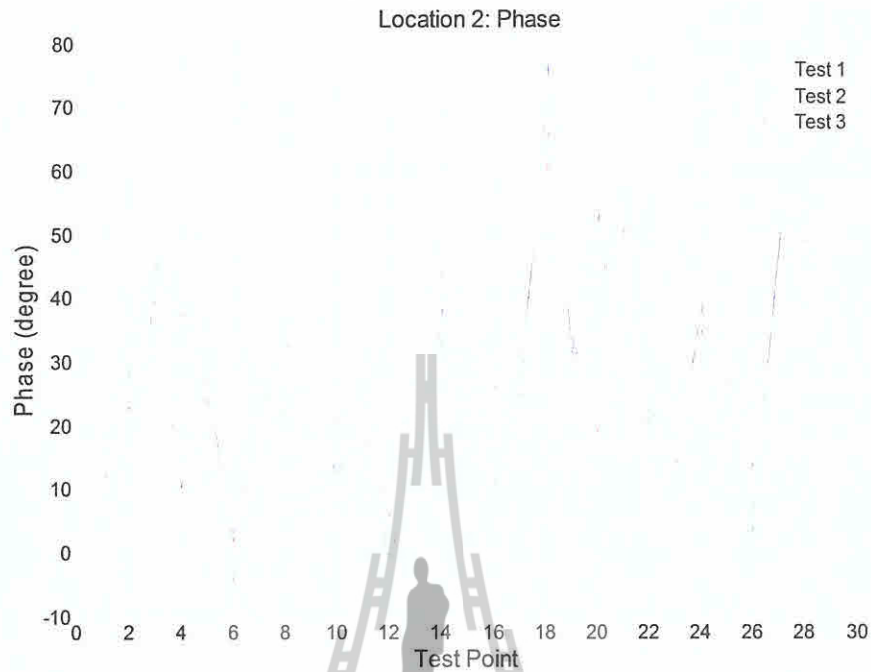
Mean = 15.9°

Location 1: Near LOS



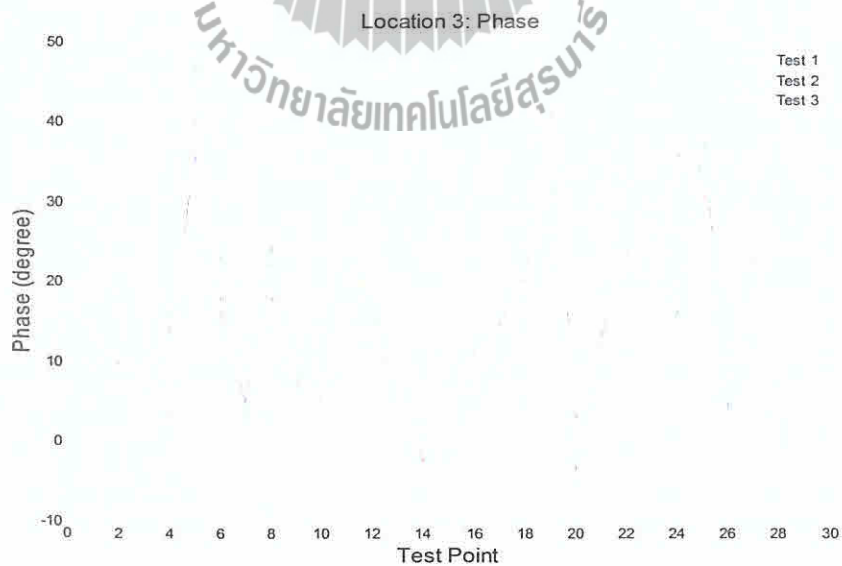
รูปที่ 4.1 กราฟแสดงผลการวัดเฟสทั้ง 28 โหนด 3 ค่าการทดลองที่ตำแหน่ง Location 1

Location 2: Far LOS



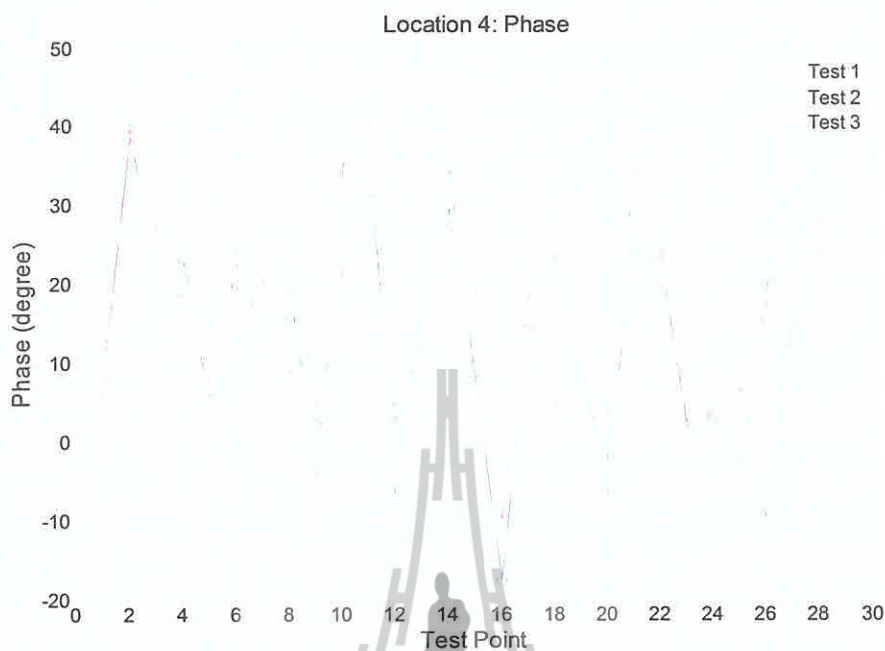
รูปที่ 4.2 กราฟแสดงผลการวัดเฟสทั้ง 28 โหนด 3 ค่าการทดลองที่ตำแหน่ง Location 2

Location 3: Near NLOS



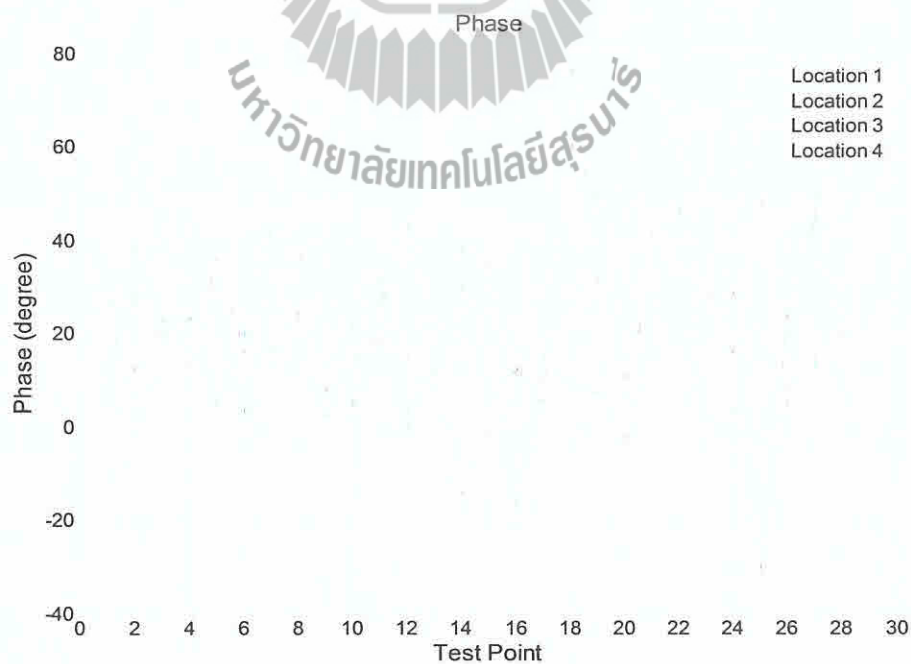
รูปที่ 4.3 กราฟแสดงผลการวัดเฟสทั้ง 28 โหนด 3 ค่าการทดลองที่ตำแหน่ง Location 3

Location 4: Far NLOS



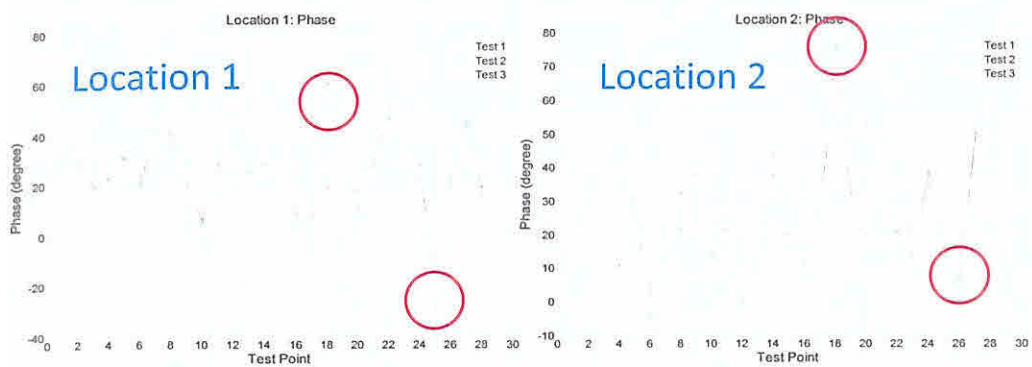
รูปที่ 4.4 กราฟแสดงผลการวัดเฟสทั้ง 28 โหนด 3 ค่าการทดลองที่ตำแหน่ง Location 4

Phase: Comparison of 4 locations



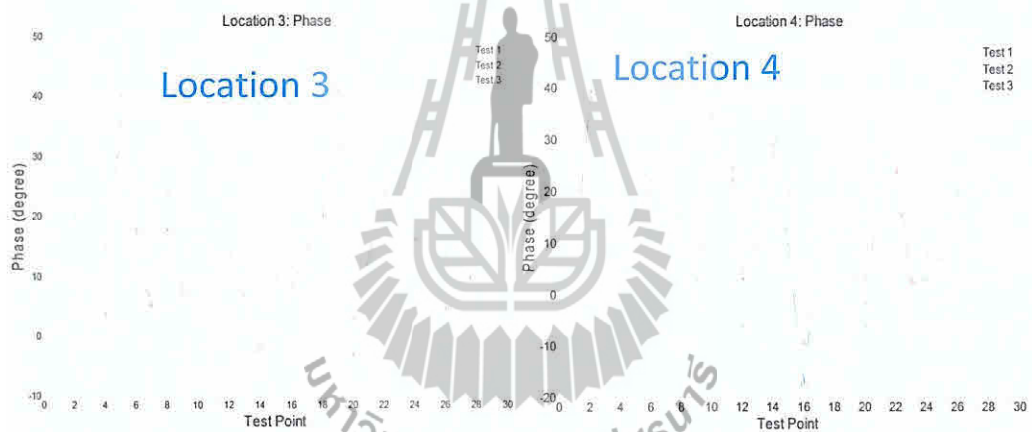
รูปที่ 4.5 กราฟแสดงผลการวัดเฟส ทั้ง 4 Locations

1) LOS case



รูปที่ 4.6 กราฟแสดงการเปรียบเทียบผลการกระจายตัวของเฟส ในกรณี LOS

2) NLOS case



รูปที่ 4.7 กราฟแสดงการเปรียบเทียบผลการกระจายตัวของเฟส ในกรณี NLOS

3) Average phase

Average Phase of all test point

| | | Time 1 | Time 2 | Time 3 |
|------|-----------------------------|---------------|---------------|---------------|
| LOS | Location 1 near LOS | 26.3° | 24.8° | 23.8° |
| | Location 2 far LOS | 25.6° | 26.2° | 27.5° |
| NLOS | Location 3 near NLOS | 14.5° | 17.1° | 15.2° |
| | Location 4 far LOS | 13.5° | 14° | 15.9° |

จากผลการทดลองการวัดการกระจายตัวของเฟสทั้ง 4 location ค่าการทดลอง พบว่า ค่าเฟสมีการเปลี่ยนแปลงไปตามตำแหน่ง location คือ ในกรณี near LOS ค่าเฟสเท่ากับ 26.3 °, 24.8 °, 23.8 ° ในกรณี far LOS ค่าเฟสเท่ากับ 25.6 °, 26.2 °, 27.5 ° ในกรณี near NLOS ค่าเฟสเท่ากับ 14.5 °, 17.1 °, 15.2 ° และในกรณี far NLOS ค่าเฟสเท่ากับ 13.5 °, 14 °, 15.9° ตามลำดับ ซึ่งผลการทดลองครั้งนี้ยังไม่เกิดผลกระทบอะไรขึ้นจึงต้องทำการวัดค่าเฟสเพิ่มเป็น location ละ 100 ค่าการทดลอง วัดเฉพาะที่ตำแหน่งโนดที่ 11



4.3 ผลการวัดครั้งที่ 2

ตารางผลการวัดค่าเฟส ที่ตำแหน่งโนดที่ 11 จำนวน 100 ค่าการทดลอง

ตารางที่ 4.1 แสดงผลการวัดค่าเฟสที่ Location 1

| Location 1 (point 11) | | | | | | | |
|-----------------------|-------|------|-------|------|-------|------|-------|
| Time | Phase | Time | Phase | Time | Phase | Time | Phase |
| 1 | 45.1 | 26 | 53 | 51 | 49.2 | 76 | 49.5 |
| 2 | 51.6 | 27 | 54.6 | 52 | 52.9 | 77 | 53.2 |
| 3 | 56.1 | 28 | 51.2 | 53 | 50 | 78 | 53.5 |
| 4 | 22.3 | 29 | 57.4 | 54 | 51.2 | 79 | 51.5 |
| 5 | 14.6 | 30 | 58.2 | 55 | 50.3 | 80 | 53.6 |
| 6 | 38.9 | 31 | 58.5 | 56 | 49.2 | 81 | 55.5 |
| 7 | 45.2 | 32 | 57.4 | 57 | 48.6 | 82 | 54.3 |
| 8 | 45.1 | 33 | 57.8 | 58 | 48.1 | 83 | 52.1 |
| 9 | 46.3 | 34 | 54 | 59 | 47.8 | 84 | 53.5 |
| 10 | 46.6 | 35 | 55.4 | 60 | 48.4 | 85 | 54 |
| 11 | 45.1 | 36 | 55.8 | 61 | 50.7 | 86 | 55.6 |
| 12 | 47.7 | 37 | 54.1 | 62 | 49.3 | 87 | 54.6 |
| 13 | 51.5 | 38 | 53.4 | 63 | 48.8 | 88 | 46.9 |
| 14 | 52.7 | 39 | 53.9 | 64 | 49.6 | 89 | 52.5 |
| 15 | 53.3 | 40 | 51.5 | 65 | 50.1 | 90 | 53.2 |
| 16 | 54.1 | 41 | 54.3 | 66 | 50.4 | 91 | 53.4 |
| 17 | 53.7 | 42 | 53.3 | 67 | 49.5 | 92 | 52.6 |
| 18 | 53.1 | 43 | 52.6 | 68 | 48.8 | 93 | 53.5 |
| 19 | 54.4 | 44 | 53.6 | 69 | 49.1 | 94 | 53.7 |
| 20 | 54.8 | 45 | 52.7 | 70 | 51.2 | 95 | 54.2 |
| 21 | 56.7 | 46 | 52.4 | 71 | 50.2 | 96 | 53.8 |
| 22 | 56.2 | 47 | 47.6 | 72 | 49.9 | 97 | 54.5 |
| 23 | 55.5 | 48 | 48.5 | 73 | 49.4 | 98 | 54.2 |
| 24 | 54.7 | 49 | 48.1 | 74 | 50.3 | 99 | 53.6 |
| 25 | 52.6 | 50 | 50.9 | 75 | 49.2 | 100 | 54.7 |

ตารางที่ 4.2 แสดงผลการวัดค่าเฟสที่ Location 2

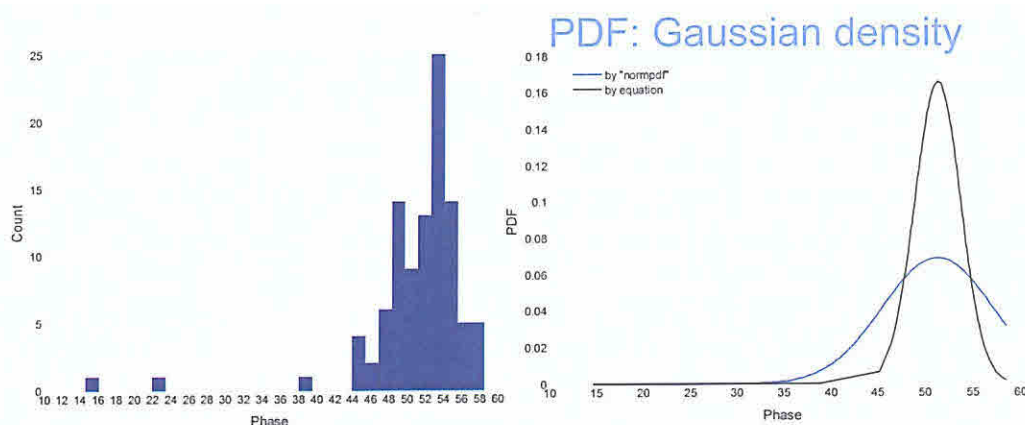
| Location 2 (point 11) | | | | | | | |
|-----------------------|-------|------|-------|------|-------|------|-------|
| Time | Phase | Time | Phase | Time | Phase | Time | Phase |
| 1 | 14.9 | 26 | 16.3 | 51 | 9.9 | 76 | 15.5 |
| 2 | 15.4 | 27 | 17.1 | 52 | 9.2 | 77 | 16.8 |
| 3 | 18.6 | 28 | 11.2 | 53 | 8.5 | 78 | 17.4 |
| 4 | 16.8 | 29 | 14.3 | 54 | 9.1 | 79 | 17.9 |
| 5 | 17.3 | 30 | 10.7 | 55 | 10.9 | 80 | 17.2 |
| 6 | 16.6 | 31 | 12.9 | 56 | 11.8 | 81 | 16.6 |
| 7 | 16.4 | 32 | 12.3 | 57 | 12.6 | 82 | 17.8 |
| 8 | 16.5 | 33 | 11.9 | 58 | 13.9 | 83 | 17.3 |
| 9 | 17.5 | 34 | 11.7 | 59 | 14.4 | 84 | 17.2 |
| 10 | 18.3 | 35 | 9.8 | 60 | 14.6 | 85 | 17.7 |
| 11 | 19.9 | 36 | 13.9 | 61 | 14.4 | 86 | 18.1 |
| 12 | 19.3 | 37 | 12.5 | 62 | 13.9 | 87 | 15.8 |
| 13 | 18.9 | 38 | 12.9 | 63 | 15.8 | 88 | 16.4 |
| 14 | 19.5 | 39 | 13.4 | 64 | 13.7 | 89 | 17.2 |
| 15 | 17.2 | 40 | 14.2 | 65 | 11.1 | 90 | 15.6 |
| 16 | 17.5 | 41 | 13.6 | 66 | 11.7 | 91 | 16.2 |
| 17 | 17.6 | 42 | 13.9 | 67 | 12.1 | 92 | 15.8 |
| 18 | 18.2 | 43 | 11.7 | 68 | 12.9 | 93 | 14.3 |
| 19 | 18.3 | 44 | 11.9 | 69 | 13.1 | 94 | 17.5 |
| 20 | 17.5 | 45 | 12.7 | 70 | 14.2 | 95 | 17.7 |
| 21 | 16.4 | 46 | 12.3 | 71 | 15.3 | 96 | 16.1 |
| 22 | 18.6 | 47 | 9.9 | 72 | 16.5 | 97 | 17.6 |
| 23 | 15.2 | 48 | 8.5 | 73 | 17.5 | 98 | 16.8 |
| 24 | 17.2 | 49 | 9.1 | 74 | 16.6 | 99 | 17.1 |
| 25 | 17.7 | 50 | 7.3 | 75 | 16.2 | 100 | 17.7 |

ตารางที่ 4.3 แสดงผลการวัดค่าเฟสที่ Location 3

| Location 3 (point 11) | | | | | | | |
|-----------------------|-------|------|-------|------|-------|------|-------|
| Time | Phase | Time | Phase | Time | Phase | Time | Phase |
| 1 | 110.4 | 26 | 91.2 | 51 | 77.1 | 76 | 78.8 |
| 2 | 126.8 | 27 | 87.4 | 52 | 78.4 | 77 | 83.8 |
| 3 | 121.7 | 28 | 80.2 | 53 | 77.9 | 78 | 85.4 |
| 4 | 124.3 | 29 | 82.8 | 54 | 80.2 | 79 | 87 |
| 5 | 118.5 | 30 | 81.4 | 55 | 76.4 | 80 | 88.6 |
| 6 | 122.8 | 31 | 79.5 | 56 | 74.6 | 81 | 87.3 |
| 7 | 110.5 | 32 | 81.9 | 57 | 75.7 | 82 | 85.1 |
| 8 | 116.9 | 33 | 87.7 | 58 | 82.7 | 83 | 87.5 |
| 9 | 120.2 | 34 | 90.4 | 59 | 83.2 | 84 | 82.9 |
| 10 | 122.7 | 35 | 83.1 | 60 | 86.9 | 85 | 84.8 |
| 11 | 120.8 | 36 | 89.3 | 61 | 87.8 | 86 | 82.2 |
| 12 | 124.3 | 37 | 91.5 | 62 | 87 | 87 | 76.6 |
| 13 | 120.6 | 38 | 93.8 | 63 | 84.3 | 88 | 81.3 |
| 14 | 115.2 | 39 | 92.7 | 64 | 85.6 | 89 | 82.2 |
| 15 | 77.9 | 40 | 92.3 | 65 | 82.2 | 90 | 77.2 |
| 16 | 80.4 | 41 | 90.4 | 66 | 84.6 | 91 | 80.3 |
| 17 | 110.5 | 42 | 91.3 | 67 | 83 | 92 | 82.7 |
| 18 | 90.2 | 43 | 90.6 | 68 | 82.2 | 93 | 82.8 |
| 19 | 87.4 | 44 | 91.1 | 69 | 80.2 | 94 | 79.2 |
| 20 | 88.2 | 45 | 90.6 | 70 | 81.6 | 95 | 90.5 |
| 21 | 90.2 | 46 | 86.6 | 71 | 81.6 | 96 | 70.1 |
| 22 | 96.7 | 47 | 83.6 | 72 | 82.6 | 97 | 74.6 |
| 23 | 90.4 | 48 | 75.4 | 73 | 81.2 | 98 | 78.5 |
| 24 | 83.2 | 49 | 76.7 | 74 | 81.5 | 99 | 72.3 |
| 25 | 83.1 | 50 | 76.2 | 75 | 83.7 | 100 | 73.5 |

ตารางที่ 4.4 แสดงผลการวัดค่าเฟสที่ Location 4

| Location 4 (point 11) | | | | | | | |
|-----------------------|--------|------|--------|------|--------|------|--------|
| Time | Phase | Time | Phase | Time | Phase | Time | Phase |
| 1 | -137.7 | 26 | -135.7 | 51 | -142.4 | 76 | -136.5 |
| 2 | -137.4 | 27 | -142.8 | 52 | -141.3 | 77 | -142.6 |
| 3 | -133.1 | 28 | -144.6 | 53 | -141.8 | 78 | -141.5 |
| 4 | -135.2 | 29 | -143.8 | 54 | -141.6 | 79 | -141.3 |
| 5 | -135.3 | 30 | -143.5 | 55 | -142.6 | 80 | -140.7 |
| 6 | -136.3 | 31 | -142.2 | 56 | -141.9 | 81 | -138.6 |
| 7 | -131.3 | 32 | -142.6 | 57 | -140.3 | 82 | -139 |
| 8 | -130.1 | 33 | -140.8 | 58 | -140.5 | 83 | -135.4 |
| 9 | -131.7 | 34 | -139.7 | 59 | -139.2 | 84 | -135.3 |
| 10 | -133.3 | 35 | -140.8 | 60 | -137.6 | 85 | -134.1 |
| 11 | -131.5 | 36 | -141.4 | 61 | -138.5 | 86 | -130.3 |
| 12 | -132.8 | 37 | -138.2 | 62 | -140.5 | 87 | -131.2 |
| 13 | -136.8 | 38 | -138.9 | 63 | -138.8 | 88 | -133.4 |
| 14 | -138.2 | 39 | -139.4 | 64 | -138.5 | 89 | -132.2 |
| 15 | -139.9 | 40 | -140.2 | 65 | -139.4 | 90 | -127.6 |
| 16 | -140.1 | 41 | -141.2 | 66 | -137.4 | 91 | -133.2 |
| 17 | -139.8 | 42 | -139.2 | 67 | -137.9 | 92 | -132.9 |
| 18 | -137.3 | 43 | -137.7 | 68 | -139.1 | 93 | -131.4 |
| 19 | -139.5 | 44 | -139.3 | 69 | -140.2 | 94 | -130.7 |
| 20 | -138.4 | 45 | -138.7 | 70 | -140.7 | 95 | -132.3 |
| 21 | -137.3 | 46 | -141.2 | 71 | -141.5 | 96 | -132.4 |
| 22 | -137.8 | 47 | -140.3 | 72 | -139.6 | 97 | -130.8 |
| 23 | -136.6 | 48 | -139.8 | 73 | -138.4 | 98 | -132.8 |
| 24 | -137.2 | 49 | -140.2 | 74 | -139.5 | 99 | -131.4 |
| 25 | -136.8 | 50 | -141.2 | 75 | -140.1 | 100 | -130.6 |



Mean = 51.2°
Standard deviation = 5.8°

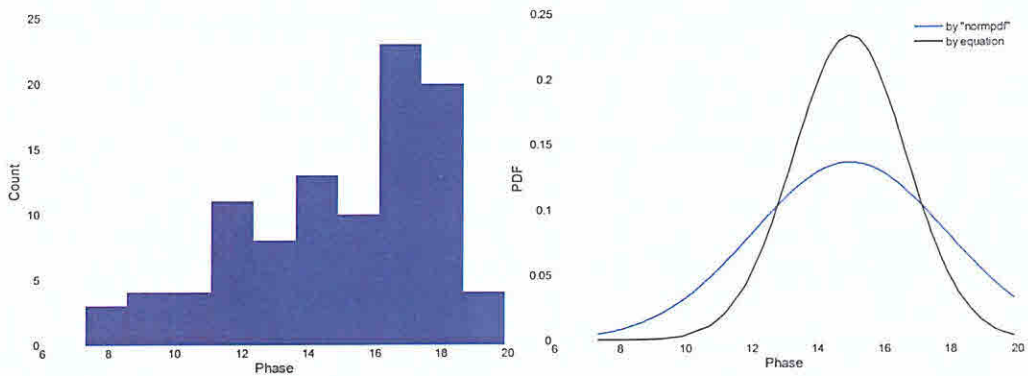
Gaussian density is defined as

$$p(x) = \frac{1}{\sqrt{2\pi}\sigma} e^{-\frac{(x-\mu)^2}{2\sigma^2}} \quad -\infty \leq x \leq \infty$$

จากกราฟซ้ายมือเป็น Histogram หรือกราฟแจกแจงความถี่ของจำนวนครั้งของเฟสที่เกิดขึ้น โดยแกน x เป็นค่าเฟส และแกน y เป็น จำนวนค่าความถี่หรือจำนวนครั้งของค่าเฟสใดๆ ตามแกน x กราฟนี้จะบอกการ กระจายตัวของค่าเฟส ค่าเฉลี่ย และค่าเบี่ยงเบนมาตรฐาน (standard deviation) โดยรูปแบบการกระจายตัวยังบอกถึง รูปแบบการกระจายตัว หรือความหนาแน่นที่จะนำมาหา phase variation model ตามกราฟทางขวามือ

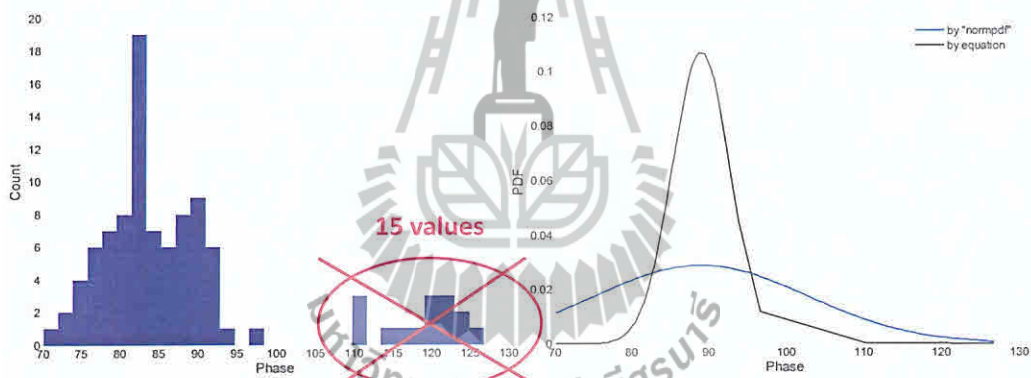
ส่วนกราฟทางขวาคือ probability density function (pdf) แบบ gaussian ที่เขียนตามสมการด้านล่าง ที่เลือกใช้ Gaussian เพราะมีลักษณะการกระจายตัวใกล้เคียงกับกราฟทางขวาที่สุด ส่วนเส้นสีดำได้จากการคำนวณตามสมการโดยตรง ส่วนกราฟสีฟ้าได้จากฟังก์ชัน matlab “normpdf” ผลที่ต่างกันเนื่องจาก “normpdf” มีการนำเอา likelihood มาหาค่า x จะเห็นว่าเส้นสีดำดูใกล้เคียงกว่า ดังนั้นจึงเลือก phase variation model ตามสมการด้านล่าง

Location 2: far LOS



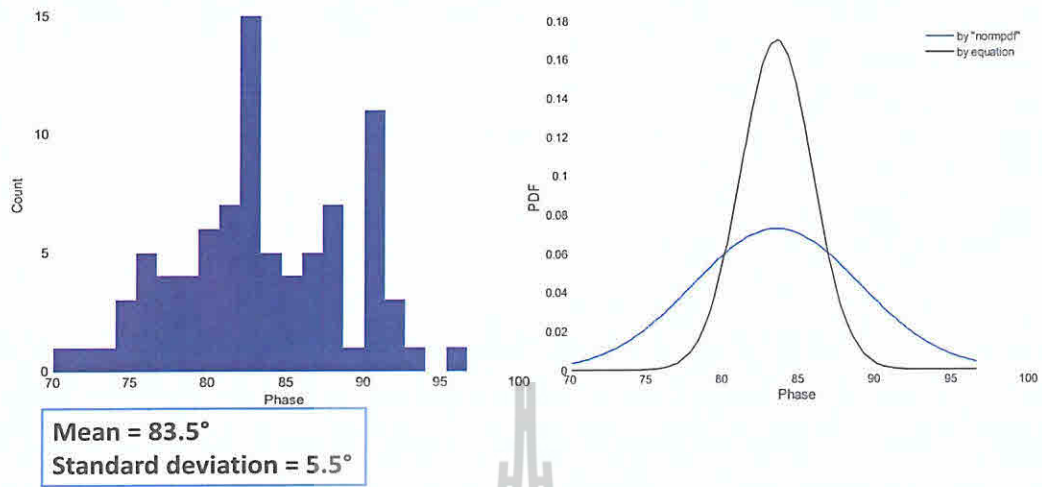
Mean = 14.9°
Standard deviation = 2.9°

Location 3: near NLOS

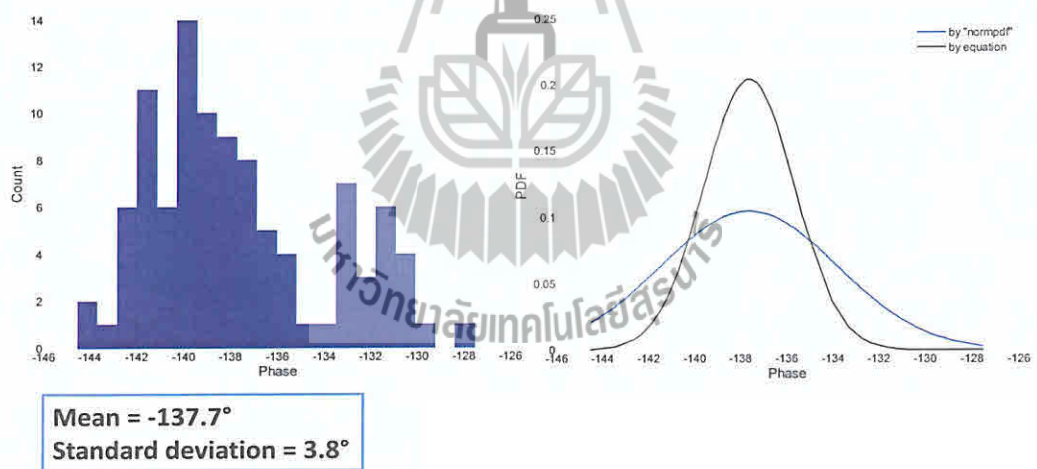


Mean = 88.9°
Standard deviation = 13.9°

Location 3: near NLOS (group of main distribution)



Location 4: far NLOS



ตารางแสดงค่าเฉลี่ยและค่าเบี่ยงเบนมาตรฐาน

| | | Mean | STD |
|------|---|--------|-------|
| LOS | Location 1 near LOS | 51.2° | 5.8° |
| | Location 2 far LOS | 14.9° | 2.9° |
| NLOS | Location 3 near NLOS | 88.9° | 13.9° |
| | Location 3 near NLOS (group only larg dist.) | 83.5° | 5.5° |
| | Location 4 far LOS | -137.7 | 3.8° |

จากผลการทดลองการวัดการกระจายตัวของเฟส ทั้ง 4 location พบว่า ค่าเบี่ยงเบนมาตรฐานของแต่ละ Location น้อยมาก คือ location1 near LOS ค่า Std เท่ากับ 5.8° Location2 far LOS ค่า Std เท่ากับ 2.9° location3 near NLOS ค่า Std เท่ากับ 5.5° และ Location1 far NLOS ค่า Std เท่ากับ 3.8° ซึ่งถือว่าเป็นค่าที่อยู่ในเกณฑ์ที่ดีมาก

Location 1: near LOS

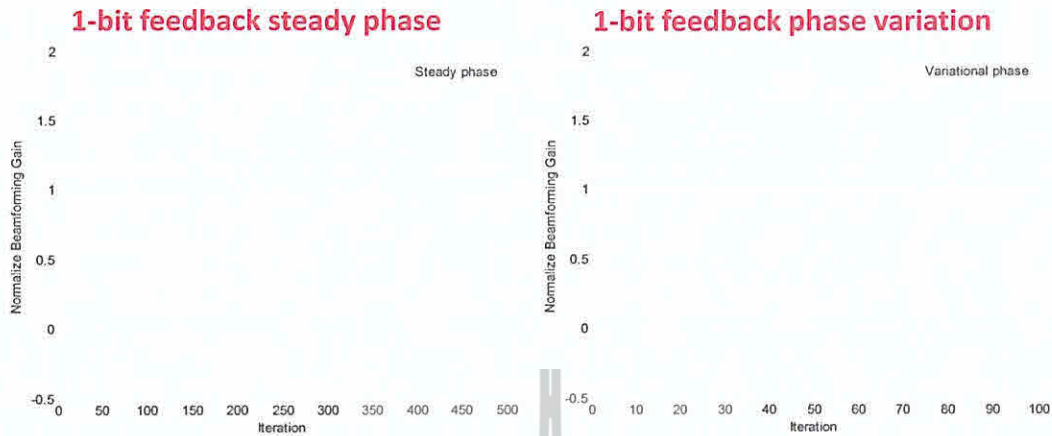
Mean = 51.2°, Standard deviation = 5.8°



รูปที่ 4.8 กราฟแสดงอัตราขยายของวิธี 1-bit feedback แกน y เป็นอัตราขยายโดยค่าสูงสุด = 1 แกน x เป็น จำนวนรอบการส่งซ้ำตามวิธีการของ 1-bit feedback กราฟทางซ้ายเป็นกรณีที่เฟสคงที่ทุกรอบการส่งซ้ำ กราฟทางขวาทุกรอบการส่งซ้ำเฟสเปลี่ยนไปตาม phase variation model ที่เราวัดได้ จะเห็นว่าทั้งสองกรณีมีค่าเทียบเท่าอัตราขยายสูงสุด เพราะค่า std มีขนาดเล็กมากคือเท่ากับ 5.8 degree ส่งผลให้สัญญาณไม่ต่างกัน

Location 2: far LOS

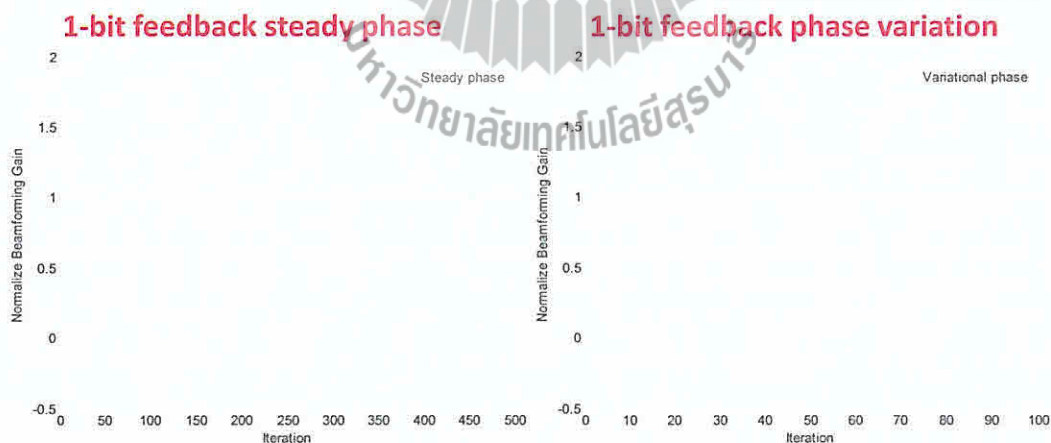
Mean = 14.9° , Standard deviation = 2.9°



รูปที่ 4.9 กราฟแสดงอัตราขยายของวิธี 1-bit feedback แกน y เป็นอัตราขยายโดยค่าสูงสุด = 1 แกน x เป็น จำนวนรอบการส่งซ้ำตามวิธีการของ 1-bit feedback กราฟทางซ้ายเป็นกรณีที่เฟสคงที่ทุกรอบการส่งซ้ำ กราฟทางขวาทุกรอบการส่งซ้ำเฟสเปลี่ยนไปตาม phase variation model ที่เราวัดได้ จะเห็นว่าทั้งสองกรณีมีค่าเทียบเท่าอัตราขยายสูงสุด เพราะค่า std มีขนาดเล็กมากคือเท่ากับ 2.9 degree ส่งผลให้สัญญาณไม่ต่างกัน

Location 3: near NLOS

Mean = 83.5° , Standard deviation = 5.5°

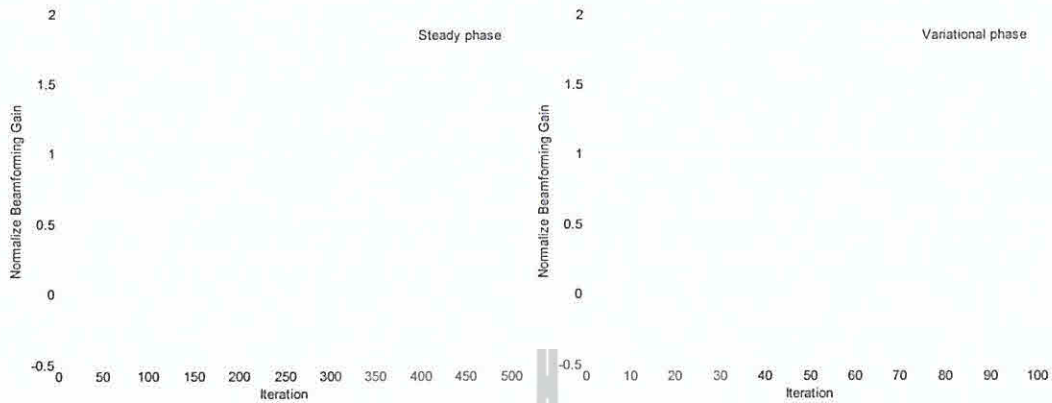


รูปที่ 4.10 กราฟแสดงอัตราขยายของวิธี 1-bit feedback แกน y เป็นอัตราขยายโดยค่าสูงสุด = 1 แกน x เป็น จำนวนรอบการส่งซ้ำตามวิธีการของ 1-bit feedback กราฟทางซ้ายเป็นกรณีที่เฟสคงที่ทุกรอบการส่งซ้ำ กราฟทางขวาทุกรอบการส่งซ้ำเฟสเปลี่ยนไปตาม phase variation model ที่เราวัดได้ จะเห็นว่าทั้งสองกรณีมีค่าเทียบเท่าอัตราขยายสูงสุด เพราะค่า std มีขนาดเล็กมากคือเท่ากับ 5.5 degree ส่งผลให้สัญญาณไม่ต่างกัน

Location 4: far NLOS 1-bit feedback steady phase

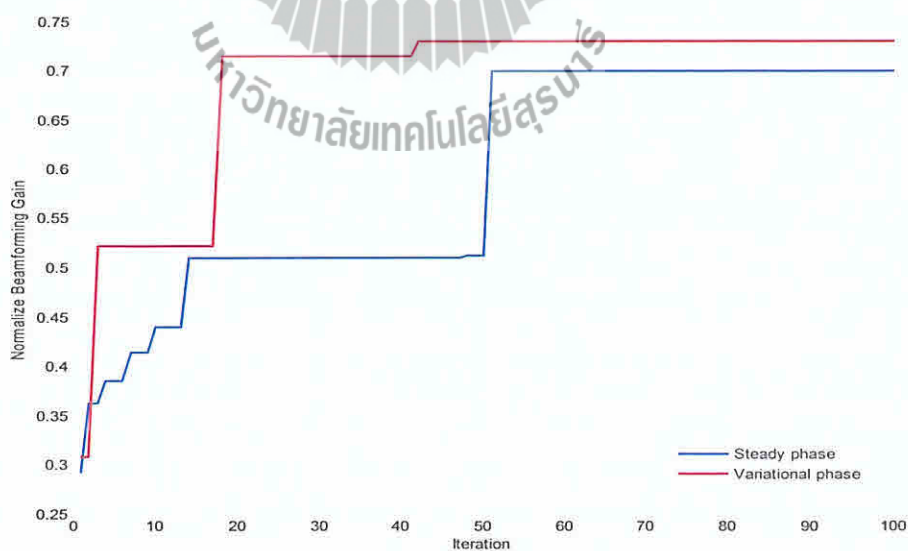
Mean = -137.7° , Standard deviation = 3.8°

1-bit feedback phase variation

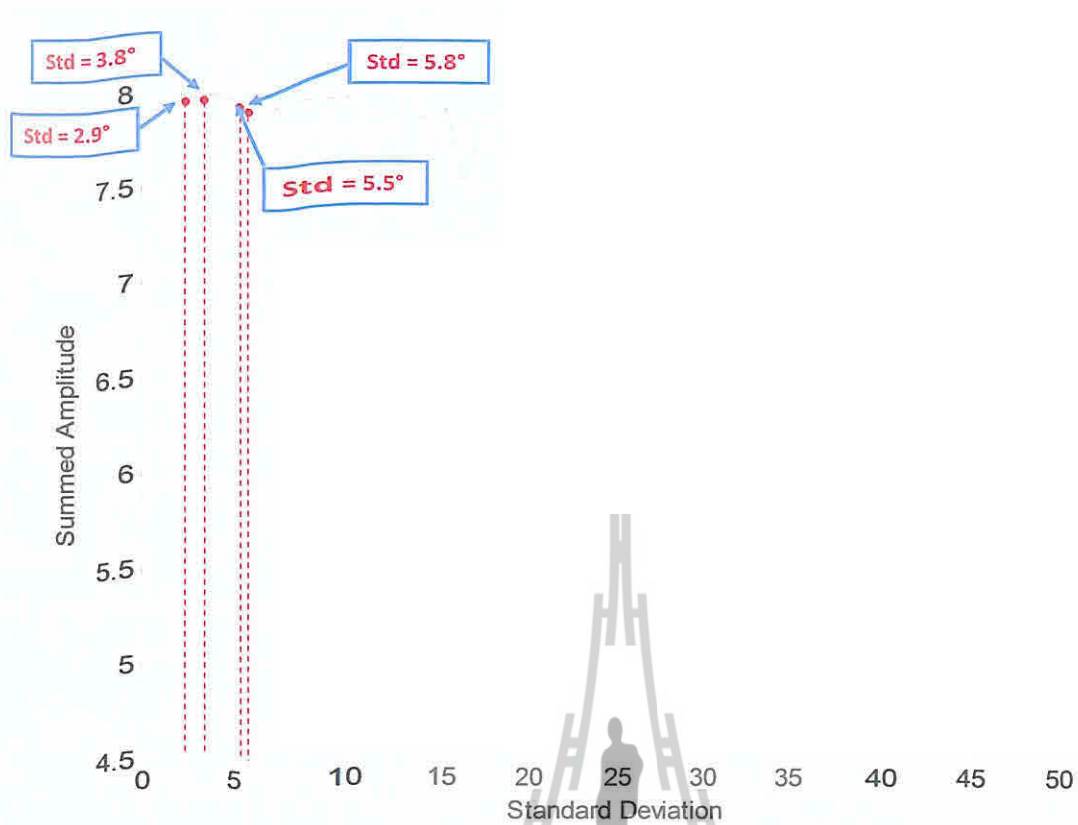


รูปที่ 4.11 กราฟแสดงอัตราขยายของวิธี 1-bit feedback แกน y เป็นอัตราขยายโดยค่าสูงสุด = 1 แกน x เป็น จำนวนรอบการส่งซ้ำตามวิธีการของ 1-bit feedback กราฟทางซ้ายเป็นกรณีที่เฟสคงที่ทุกรอบการส่งซ้ำ กราฟทางขวาทุกรอบการส่งซ้ำเฟสเปลี่ยนไปตาม phase variation model ที่เรารู้ได้ จะเห็นว่าทั้งสองกรณีมีค่าเทียบเท่าอัตราขยายสูงสุด เพราะค่า std มีขนาดเล็กมากคือเท่ากับ 3.8 degree ส่งผลให้สัญญาณไม่ต่างกัน

Mean = 26.3° , Standard deviation = 100°



รูปที่ 4.12 กราฟแสดงอัตราขยายที่เพิ่มค่าเบี่ยงเบนมาตรฐานให้มากขึ้น คือ 100° ซึ่งพบว่าจะทำให้ประสิทธิภาพของระบบลดลง



รูปที่ 4.13 กราฟแสดงประสิทธิภาพของระบบ ซึ่งจากกราฟจะเห็นว่า ถ้าค่าเบี่ยงเบนมาตรฐานเพิ่มขึ้นจะทำให้ประสิทธิภาพของระบบลดลง

บทที่ 5

บทสรุปและข้อเสนอแนะ

5.1 บทสรุป

จากผลการทดลองของการวัดการกระจายตัวของเฟสในพื้นที่ขนาดเล็กพบว่า มีการเปลี่ยนแปลงไปตามตำแหน่งของแต่ละ Location คือ ค่าเฟสใน Location ที่ 1 เท่ากับ 51.2° , Location ที่ 2 เท่ากับ 14.9° , Location ที่ 3 เท่ากับ 83.5° และ Location ที่ 4 เท่ากับ -137.7°

ประสิทธิภาพโดยรวมของระบบ 1-bit feedback ไม่มีการเปลี่ยนแปลง เนื่องจากค่าเบี่ยงเบนมาตรฐานมีค่าน้อยมาก คือ ใน Location ที่ 1, 2, 3 และ 4 เท่ากับ 5.8° , 2.9° , 5.5° และ 3.8° ตามลำดับ ดังนั้นสามารถที่จะนำกระบวนการนี้ไปใช้ในพื้นที่ขนาดเล็กนี้ได้ต่อไป

5.2 สิ่งที่ได้จากการศึกษาโครงการ

1. ได้ข้อมูลการกระจายตัวของเฟส ซึ่งได้นำไปวิเคราะห์ผลกระทบของการก่อรูปลำคลื่นแบบกระจายได้
2. ได้เรียนรู้การใช้เครื่องมือวัด Network Analyzer ได้ถูกต้อง

5.3 ปัญหาและอุปสรรค

1. ขาดความชำนาญในการใช้เครื่องมือวัด Network Analyzer
2. สภาพแวดล้อมในการวัด เช่น แอร์ทำให้การวัดค่าเฟสไม่นิ่ง

5.4 ข้อจำกัดของโครงการ

ต้องทำการทดลองในเวลากลางคืน เพราะเป็นเวลาที่มิสัญญาณรบกวนน้อยที่สุด

5.5 ข้อเสนอแนะ

1. ในการทดลองควรศึกษาความเข้าใจเกี่ยวกับอุปกรณ์ที่ใช้ในการทดลองก่อน
2. ผลการทดลองการกระจายตัวของเฟสสามารถที่จะนำไปวิเคราะห์ใช้กับกระบวนการเชิงโครโมอินทรีย์ได้

เอกสารอ้างอิง

- [1] R. Mudumbai et al., “**Distributed Transmit Beamforming Using Feedback Control,**” *IEEE Trans. Information Theory*, Vol. 56 No. 1 Jan 2010.
- [2] R. Mudumbai et al., “**A Scalable Architecture for Distributed Transmit Beamforming with Commodity Radios: Design and Proof of Concept**” *IEEE Trans. Wireless Comm.*, Vol. 12 pp. 1418 – 1428, March 2013.
- [3] H. Xuling. “**Study on wireless local area network technology.**,” IEEE Conf. Consumer Electronics, Communications and Networks (CECNet) 2012, April 2012, pp. 609-612.
- [4] J. C. Liberti Jr., T. S. Rappaport (1999). **Smart Antennas for Wireless Communications: IS-95 and Third Generation CDMA Applications**, Printice Hall PTR, NJ, 1999.
- [5] C. A. Balanis (1997). **Antenna Theory: Analysis and Design 2nd edition**. John Wiley & Sons, Inc. 1997.
- [6] B.Allen, M. Ghavami. **Adaptive Array System: Fundamentals and Applications**, John Wiley & Sons LTd, 2005.
- [7] F. Gross. **Smart Antennas for Wireless Communication**, Mc Graw Hill, 2005.
- [8] M. Rivas, “**A Review of Adaptive Beamforming Techniques for Wideband Smart Antennas**” IEEE WiCOM 2010, pp. 1-5, 23-25 Sept. 2010.
- [9] E. Klumperink, “**Beamforming techniques and RF transceiver design**” IEEE ISSCC 2012, pp. 198-199, 19-23 Feb. 2012.
- [10] T.W. Nuteson, “**Smart antenna systems for wireless applications**” IEEE con. Ant. and Prop. Society International Symposium, pp. 2804-2807, 20-25 June 2004.

- [11] T. Mack, “**A digital mm-wave smart antenna receiver based on six-port technology for near range radar applications**” Microwave Conference, 2004. 34th European, pp. 1481-1484, 14 Oct. 2004.
- [12] T. K. Sarkar, M. C. Wicks, M. Salazar-Palma, and R. Bonneau, **Smart Antennas**, New York, Wiley/IEEE Press, 2003.
- [13] Y. T. Lo, “**A mathematical theory of antenna arrays with randomly spaced elements,**” IRE Trans. Antennas Propagat., vol. 12, pp. 257–268, May 1964
- [14] R. Mudumbai, D.R. Brown, U. Madhow, H.V. Poor, “**Distributed transmit beamforming: challenges and recent progress,**” IEEE Comm. Mag., Vol. 47, issue 2, pp. 102-110, Feb. 2009.

